

Theo yêu cầu của khách hàng, trong một năm qua, chúng tôi đã dịch qua 16 môn học, 34 cuốn sách, 43 bài báo, 5 sổ tay (chưa tính các tài liệu từ năm 2010 trở về trước) Xem ở đây

**DỊCH VỤ
DỊCH
TIẾNG
ANH
CHUYÊN
NGÀNH
NHANH
NHẤT VÀ
CHÍNH
XÁC
NHẤT**

Chỉ sau một lần liên lạc, việc dịch được tiến hành

Giá cả: có thể giảm đến 10 nghìn/1 trang

Chất lượng: Tao dung niềm tin cho khách hàng bằng công nghệ 1. Bạn thấy được toàn bộ bản dịch; 2. Bạn đánh giá chất lượng. 3. Bạn quyết định thanh toán.

Tài liệu này được dịch sang tiếng Việt bởi:

www.mientayvn.com

Hướng dẫn truy cập: Ctrl+click vào các link bên dưới

Từ bản gốc:

<https://drive.google.com/folderview?id=0B4rAPqlxIMRDUBEMnZoemFHM00&usp=sharing>

Liên hệ mua:

thanhlam1910_2006@yahoo.com hoặc frbwrthes@gmail.com hoặc số 0168 8557 403

Giá tiền: 1 nghìn/trang đơn (không chia cột); 500 VND/trang song ngữ

Dịch tài liệu của bạn: http://www.mientayvn.com/dich_tiang_anh_chuyen_nghanh.html

Chương 4

Trường tĩnh điện trong vật chất

107

Bài tập 4.1

$E = V/x = 500/10^{-3} = 5 \times 10^5$. Table 4.1: $\alpha/4\pi\epsilon_0 = 0.66 \times 10^{-30}$, so

$$\alpha = 4\pi(8.85 \times 10^{-12})(0.66 \times 10^{-30}) = 7.34 \times 10^{-41}.$$

$$p = \alpha E = ed \Rightarrow d = \alpha E / e = (7.34 \times 10^{-41})(5 \times 10^5) / (1.6 \times 10^{-19}) = 2.29 \times 10^{-16} \text{ m}.$$

$d/R = (2.29 \times 10^{-16}) / (0.5 \times 10^{-10}) = \boxed{4.6 \times 10^{-6}}$. Để in hóa, chẳng hạn $d = R$. Thì $R = \alpha E / e = \alpha V / ex \Rightarrow V = R ex / \alpha = (0.5 \times 10^{-10})(1.6 \times 10^{-19})(10^{-3}) / (7.34 \times 10^{-41}) = \boxed{10^8 \text{ V}}$.

Bài tập 4.2

Đầu tiên tìm trường, ở bán kính r , dùng định luật Gauss: $\int E \cdot da = \frac{1}{\epsilon_0} Q_{enc}$, or

$$E = \frac{1}{4\pi\epsilon_0} \frac{1}{r^2} Q_{enc}.$$

$$\begin{aligned} Q_{enc} &= \int_0^r \rho dr = \frac{4\pi q}{\pi a^3} \int_0^r e^{-2\bar{r}/a} \bar{r}^2 d\bar{r} = \frac{4q}{a^3} \left[-\frac{a}{2} e^{-2\bar{r}/a} \left(\bar{r}^2 + a\bar{r} + \frac{a^2}{2} \right) \right] \Big|_0^r \\ &= -\frac{2q}{a^2} \left[e^{-2r/a} \left(r^2 + ar + \frac{a^2}{2} \right) \right] = q \left[1 - e^{-2r/a} \left(1 + 2\frac{r}{a} + 2\frac{r^2}{a^2} \right) \right]. \end{aligned}$$

[Chú ý: $Q_{enc}(r \rightarrow \infty) = q$.] Vì vậy trường của electron có thể là

$$E_e = \frac{1}{4\pi\epsilon_0} \frac{q}{r^2} \left[1 - e^{-2r/a} \left(1 + 2\frac{r}{a} + 2\frac{r^2}{a^2} \right) \right]. \text{ Proton sẽ bị dịch chuyển từ } r = 0 \text{ đến điểm } d$$

ở đó $E_e = E$ (trường ngoài):

$$E = \frac{1}{4\pi\epsilon_0} \frac{q}{d^2} \left[1 - e^{-2d/a} \left(1 + 2\frac{d}{a} + 2\frac{d^2}{a^2} \right) \right].$$

Khai triển theo (d/a) :

$$\begin{aligned}
 e^{-2d/a} &= 1 - \left(\frac{2d}{a}\right) + \frac{1}{2}\left(\frac{2d}{a}\right)^2 - \frac{1}{3!}\left(\frac{2d}{a}\right)^3 + \dots = 1 - 2\frac{d}{a} + 2\left(\frac{d}{a}\right)^2 - \frac{4}{3}\left(\frac{d}{a}\right)^3 + \dots \\
 &= 1 - \left(1 - 2\frac{d}{a} + 2\left(\frac{d}{a}\right)^2 - \frac{4}{3}\left(\frac{d}{a}\right)^3 + \dots\right) \left(1 + 2\frac{d}{a} + 2\frac{d^2}{a^2}\right) \\
 &= \gamma - \gamma - 2\frac{d}{a} - 2\frac{d^2}{a^2} + 2\frac{d}{a} + 4\frac{d^2}{a^2} + 4\frac{d^3}{a^3} - 2\frac{d^2}{a^2} - 4\frac{d^3}{a^3} + \frac{4d^3}{3a^3} + \dots \\
 &= \frac{4}{3}\left(\frac{d}{a}\right)^3 + \text{các số hạng bậc cao.}
 \end{aligned}$$

$$E = \frac{1}{4\pi\epsilon_0} \frac{q}{d^2} \left(\frac{4d^3}{3a^3}\right) = \frac{1}{4\pi\epsilon_0} \frac{4}{3a^3} (qd) = \frac{1}{3\pi\epsilon_0 a^3} p. \quad \boxed{\alpha = 3\pi\epsilon_0 a^3.}$$

[Không khác nhiều với mô hình hình cầu đồng đều của ví dụ. (Xem pt. 4.2). Chú ý rằng kết quả này tiên đoán $\frac{1}{4\pi\epsilon_0} \alpha = \frac{3}{4} a^3 = \frac{3}{4} (0.5 \times 10^{-10})^3 = 0.09 \times 10^{-30} m^3$, so với giá trị thực nghiệm (bảng 4.1) $0.66 \times 10^{-30} m^3$. Thật trớ trêu, các công thức cổ điển (phương trình. 4.2) khá gần với giá trị thực nghiệm.]

Bài tập 4.3

$\rho r = Ar$. Điện trường (theo định luật Gauss):

$$\oint \vec{E} \cdot d\vec{a} = E(4\pi r^2) = \frac{1}{\epsilon_0} Q_{enc} = \frac{1}{\epsilon_0} \int_0^r Ar 4\pi r^2 dr, \text{ or } E = \frac{1}{4\pi r^2} \frac{4\pi A r^4}{\epsilon_0} = \frac{Ar^2}{4\epsilon_0}. \text{ Trường "bên}$$

trong" này cân bằng với trường bên ngoài E khi hạt nhân "lệch tâm" một lượng $d : ad^2/4\epsilon_0 = E \Rightarrow d = \sqrt{4\epsilon_0 E/A}$. Vì vậy moment lưỡng cực cảm ứng là

$$p = ed = 2e\sqrt{\epsilon_0/A}\sqrt{E}. \text{ Hiển nhiên } p \text{ tỉ lệ với } E^{1/2}.$$

Đối với pt. 4.1 để đúng trong giới hạn trường yếu, E phải tỉ lệ với r, đối với r nhỏ, có nghĩa là nó phải tiến tới không đổi (khác 0) tại gốc tọa độ: $\boxed{\rho(0) \neq 0}$

(chứ không phải không xác định)

Bài tập 4.4

Trường của q : $\frac{1}{4\pi \epsilon_0} \frac{q}{r^2} \hat{r}$. Moment lưỡng cực cảm ứng của nguyên tử 109

$$: p = \alpha E = \frac{\alpha q}{4\pi \epsilon_0 r^2} \hat{r} .$$

Trường của lưỡng cực này , tại vị trí q ($\theta = \pi$, trong phương trình.3.103) :

$$E = \frac{1}{4\pi \epsilon_0} \frac{1}{r^3} \left(\frac{2\alpha q}{4\pi \epsilon_0 r^2} \right) \text{ (phải)} .$$

Lực tác dụng lên q do trường này: (hút) .

Bài tập 4.5

Trường của p_1 tại p_2 ($\theta = \pi/2$ trong phương trình. 3.103) : $E_1 = \frac{P_1}{4\pi \epsilon_0 r^3} \hat{\theta}$ (hướng xuống) .

Momen trên p_2 : $N_2 = p_2 \times E_1 = p_2 E_1 \sin 90^\circ = p_2 E_1 = \boxed{\frac{P_1 P_2}{4\pi \epsilon_0 r^3}}$ (hướng vào trong trang giấy) .

Momen trên p_1 : $N_1 = p_1 \times E_2 = \boxed{\frac{2P_1 P_2}{4\pi \epsilon_0 r^3}}$ (hướng vào trong trang giấy)

Bài tập 4.6

Dùng lưỡng cực ảnh được biểu diễn trong hình .(a). Kéo ngược lại, thay p_i ở góc tọa độ, hình. (b).

$$E_i = \frac{P}{4\pi \epsilon_0} \frac{2 \cos \theta \hat{r} + \sin \theta \hat{\theta}}{2z^3} ; p = p \cos \theta \hat{r} + p \sin \theta \hat{\theta} .$$

(ngoài trang) .

Nhưng $\sin \theta \cos \theta = 1/2 \sin 2\theta$, so $N = \boxed{\frac{p^2 \sin 2\theta}{4\pi \epsilon_0 16z^3}}$ (ngoài trang)

Đối với $0 < \theta < \pi/2$, N có khuynh hướng quay p ngược chiều kim đồng hồ ; đối với $\pi/2 < \theta < \pi$, N quay p cùng chiều kim đồng hồ. Vì thế 110

Hướng ổn định vuông góc với bề mặt –hoặc \uparrow or \downarrow .

Bài tập 4.7

Giả sử rằng trường là đều và hướng theo trục y . Trước hết mảnh p từ vô cùng dọc theo trục x - cái này không sinh công, vì $F \perp dl$. (Nếu E không đều, mảnh p nằm dọc theo quỹ đạo \perp trường.) Bây giờ quay (ngược chiều kim đồng hồ) đến điểm cuối. Momen bị tác dụng bởi E là $N = p \times E = pE \sin \theta \hat{z}$. Momen mà chúng ta tác dụng là $N = pE \sin \theta$ theo chiều kim đồng hồ, và $d\theta$ ngược chiều kim đồng hồ, vì vậy công toàn phần được thực hiện bởi chúng ta âm :

$$U = \int_{\pi/2}^{\theta} pE \sin \bar{\theta} d\bar{\theta} = pE \left[-\cos \bar{\theta} \right]_{\pi/2}^{\theta} = -pE \left(\cos \theta - \cos \frac{\pi}{2} \right) = -pE \cos \theta = -p \cdot E. \quad qed$$

Bài tập 4.8

$$U = -p_1 \cdot E_2, \text{ but } E_2 = \frac{1}{4\pi\epsilon_0} \frac{1}{r^3} [3(p_2 \cdot \hat{r})\hat{r} - p_2]. \text{ So } U = \frac{1}{4\pi\epsilon_0} \frac{1}{r^3} [p_1 p_2 - 3 p_1 \hat{r} \cdot p_2 \hat{r}]. \quad qed$$

Bài tập 4.9

$$a) F = p \cdot \nabla E \quad Eq.4.5 ; E = \frac{1}{4\pi\epsilon_0} \frac{q}{r^2} \hat{r} = \frac{q}{4\pi\epsilon_0} \frac{x\hat{x} + y\hat{y} + z\hat{z}}{(x^2 + y^2 + z^2)^{3/2}}$$

$$\begin{aligned}
F_z &= \left(p_x \frac{\partial}{\partial x} + p_y \frac{\partial}{\partial y} + p_z \frac{\partial}{\partial z} \right) \frac{q}{4\pi\epsilon_0} \frac{x}{x^2 + y^2 + z^2}{}^{3/2} \\
&= \frac{q}{4\pi\epsilon_0} \left\{ p \left[\frac{1}{x^2 + y^2 + z^2}{}^{3/2} - \frac{3}{2} x \frac{2x}{x^2 + y^2 + z^2}{}^{5/2} \right] + p_y \left[-\frac{3}{2} x \frac{2y}{x^2 + y^2 + z^2}{}^{5/2} \right] + p_z \left[\dots \right] \right\} \\
&= \frac{q}{4\pi\epsilon_0} \left[\frac{p_z}{r^3} - \frac{3x}{r^5} p_x x + p_y y + p_z z \right] = \frac{q}{4\pi\epsilon_0} \left[\frac{p}{r^3} - \frac{3r}{r^5} p \cdot r \right]_x.
\end{aligned}$$

$$F = \frac{1}{4\pi\epsilon_0} \frac{q}{r^3} [p - 3 p \cdot \hat{r} \hat{r}].$$

b $E = \frac{1}{4\pi\epsilon_0} \frac{1}{r^3} [3 p \cdot \hat{r} \hat{r} - \hat{r} \hat{r} - p] = \frac{1}{4\pi\epsilon_0} \frac{1}{r^3} [3 p \cdot \hat{r} \hat{r} - p]$. (Điều này xuất phát từ phương trình. 3.104; dấu trừ là bởi vì \hat{r} hướng về phía p , trong bài tập này.)

$$F = qE = \frac{1}{4\pi\epsilon_0} \frac{q}{r^3} [3 p \cdot \hat{r} \hat{r} - p].$$

[Chú ý rằng lực bằng và ngược dấu, như bạn mong đợi từ định luật III Newton.]

Bài tập 4.10

$$(a) \sigma_b = P \cdot \hat{n} = kR; \quad \rho_b = -\nabla \cdot P = -\frac{1}{r^3} \frac{\partial}{\partial r} r^2 k r = -\frac{1}{r^2} 3kr^2 = -3k.$$

$$(b) \text{Đối với } r < R, E = \frac{1}{3\epsilon_0} \rho r \hat{r} \text{ (Bài tập. 2.12)}, \text{ vì vậy } E = -\frac{k}{\epsilon_0} r.$$

Đối với $r > R$, tương tự nếu tất cả điện tích ở tâm ; nhưng

$$Q_{tot} = kR \cdot 4\pi R^2 + -3k \left(\frac{4}{3} \pi R^3 \right) = 0, \text{ vì vậy } \boxed{E = 0.}$$

Bài tập 4.11

$\rho_b = 0; \sigma = P \cdot \hat{n} = \pm P$ (dấu cộng ở một đầu sang đầu mà các điểm P hướng tới ; dấu trừ ở đầu còn lại sang đầu mà các điểm P hướng ra xa).

- (i) $L \gg a$. Do đó các đầu trong giống các điện tích điểm, và toàn bộ vật giống như lưỡng cực vật lý, chiều dài L và điện tích $P\pi a^2$. Xem hình. (a).
- (ii) $L \ll a$. Thế thì nó giống như một tụ điện bản song song tròn. Trường gần đều bên trong ; “trường viền” không đều ở các biên. Xem hình. (b).
- (iii) $L \approx a$. Xem hình .(c).

Bài tập 4.12

$$V = \frac{1}{4\pi\epsilon_0} \int \frac{P \cdot \hat{r}}{r^2} dr = P \cdot \left\{ \frac{1}{4\pi\epsilon_0} \int \frac{\hat{r}}{r^2} dr \right\}. \text{ Nhưng các số hạng trong ngoặc nhọn đúng là}$$

trường của quả cầu tích điện đều, chia cho p . Tích phân được tính trong bài tập.2.7 và 2.8 :

$$\frac{1}{4\pi\epsilon_0} \int \frac{\hat{r}}{r^2} dr = \frac{1}{p} \left\{ \begin{array}{l} \frac{1}{4\pi\epsilon_0} \frac{4/3 \pi R^3 p}{r^2} \hat{r}, \quad r > R, \\ \frac{1}{4\pi\epsilon_0} \frac{4/3 \pi R^3 p}{R^3} \hat{r}, \quad r < R, \end{array} \right\} \text{ So } V_{r,\theta} = \left\{ \begin{array}{l} \frac{R^3}{3\epsilon_0 r^2} P \cdot \hat{r} = \frac{R^3 P \cos\theta}{3\epsilon_0 r^2}, \\ \frac{1}{3\epsilon_0} P \cdot r = \frac{Pr \cos\theta}{3\epsilon_0}, \end{array} \right.$$

$$\left. \begin{array}{l} r > R \\ r < R \end{array} \right\}$$

Bài tập 4.13

Xem nó như hai hình trụ có mật độ điện tích đều ngược nhau $\pm\rho$. Bên trong trường, ở khoảng cách s từ trục của hình trụ tích điện đều được cho bởi định luật

Gauss : $E2\pi sl = \frac{1}{\epsilon_0} \rho\pi s^2 l \Rightarrow E = \rho/2\epsilon_0 s$. Đối với hai hình trụ như thế, một cộng

và một trừ. Trường toàn phần (bên trong) là $E = E_+ + E_- = \rho/2\epsilon_0 (s_+ - s_-)$. Nhưng

$s_+ - s_- = -d$, vì vậy $E = \boxed{\rho d / 2\epsilon_0}$, ở đây d là vector từ trục âm đến trục dương.

Trong trường hợp này, momen lưỡng cực toàn phần của khoang có chiều dài l bằng $P = \rho\pi a^2 l = \rho\pi a^2 l d$. Vì vậy $\rho d = P$, và $\boxed{E = -P / 2\epsilon_0}$, đối với $s < a$.

Bên ngoài, định luật Gauss cho chúng ta $E2\pi sl = \frac{1}{\epsilon_0} \rho\pi a^2 l \Rightarrow E = \frac{\rho a^2}{2\epsilon_0} \frac{\hat{s}}{s}$, đối với

một hình trụ. Để kết hợp, $E = E_+ + E_- = \frac{\rho a^2}{2\epsilon_0} \left(\frac{\hat{s}_+}{s_+} - \frac{\hat{s}_-}{s_-} \right)$, ở đây

$$s_{\pm} = s \mp \frac{d}{2};$$

$$\begin{aligned} \frac{s_{\pm}}{s_{\pm}^2} &= \left(s \mp \frac{d}{2} \right) \left(s^2 + \frac{d^2}{4} \mp s.d \right)^{-1} \cong \frac{1}{s^2} \left(s \mp \frac{d}{2} \right) \left(1 \mp \frac{s.d}{s^2} \right)^{-1} \cong \frac{1}{s^2} \left(s \mp \frac{d}{2} \right) \left(1 \pm \frac{s.d}{s^2} \right) \\ &= \frac{1}{s^2} \left(s \pm s \frac{s.d}{s^2} \mp \frac{d}{2} \right) \end{aligned}$$

(chỉ giữ các số hạng bậc nhất của d)

$$\left(\frac{\hat{s}_+}{s_+} - \frac{\hat{s}_-}{s_-} \right) = \frac{1}{s^2} \left[\left(s + s \frac{s.d}{s^2} - \frac{d}{2} \right) - \left(s - s \frac{s.d}{s^2} + \frac{s}{2} \right) \right] = \frac{1}{s^2} \left(2 \frac{s.s.d}{s^2} - d \right).$$

$$\boxed{E_s = \frac{a^2}{2\epsilon_0} \frac{1}{s^2} [2 P \hat{s} \hat{s} - P]}, \text{ đối với } s > a$$

Bài tập 4.14

Điện tích tổng cộng trong điện môi bằng $Q_{tot} = \oint_{\mathcal{V}} \sigma_b da + \int_{\mathcal{V}} \rho_b d\tau = \oint_{\mathcal{V}} P \cdot da - \int_{\mathcal{V}} \nabla \cdot P d\tau$.

Nhưng định lí divergence nói rằng $\oint_{\mathcal{V}} P \cdot da = \int_{\mathcal{V}} \nabla \cdot P d\tau$, so $Q_{enc} = 0$. qed

Bài tập 4.15

$$(a) \rho_b = -\nabla \cdot P = -\frac{1}{r^2} \frac{\partial}{\partial r} \left(r^2 \frac{k}{r} \right) = -\frac{k}{r^2};$$

$$\sigma_b = P \cdot \hat{n} = \begin{cases} +P \hat{r} = k/b & r = b, \\ -P \hat{r} = -k/a & r = a. \end{cases}$$

Định luật Gauss $\Rightarrow E = \frac{1}{4\pi\epsilon_0} \frac{Q_{enc}}{r^2} \hat{r}$. Đối với $r < a$, $Q_{enc} = 0$, so $\boxed{E=0}$. Đối với r

$> b$, $Q_{enc} = 0$ (Bài tập. 4.14), vì vậy $\boxed{E=0}$

Đối với $a < r < b$, $Q_{enc} = \left(\frac{-k}{a} \right) 4\pi a^2 + \int_a^r \left(\frac{-k}{r^2} \right) 4\pi r^2 dr = -4\pi ka - 4\pi k(r-a) = -4\pi kr$; vì

vậy $\boxed{E = -k/\epsilon_0 r \hat{r}}$.

(b) $\oint D \cdot da = Q_{f,enc} = 0 \Rightarrow D = 0$ ở mọi nơi. $D = \epsilon_0 E + P = 0 \Rightarrow E = -1/\epsilon_0 P$, vì vậy

$\boxed{E = 0}$ (đối với $r < a$ và $r > b$);

$\boxed{E = k/\epsilon_0 r \hat{r}}$ (đối với $a < r < b$)

Bài tập 4.16

(a) Giống như E_0 từ trường ở tâm hình cầu với độ phân cực đều P . Cái sau bằng (pt. 4.14) $-P/3\epsilon_0$. Vì vậy $E = E_0 + \frac{1}{3\epsilon_0} P$

$$D = \epsilon_0 E = \epsilon_0 E_0 + \frac{1}{3} P = D_0 - p + \frac{1}{3} p, \text{ So } D = D_0 - \frac{2}{3} P.$$

(b) Giống như E_0 từ trường của \pm các điện tích tại hai đầu của “kim” – nhưng những cái này nhỏ, và cách xa, vì vậy $E = E_0$

$$D = \epsilon_0 E = \epsilon_0 E_0 = D_0 - P, \text{ so } D = D_0 - P.$$

(c) Giống như E_0 từ trường của tụ điện bản song song với bảng cao hơn tại

$$\sigma = P. \text{ Cái sau bằng } E = E_0 + \frac{1}{\epsilon_0} P = 1/\epsilon_0 P, \text{ so } D = \epsilon_0 E = \epsilon_0 E_0 + P, \text{ so } D = D_0.$$

Bài tập 4.18

(a) Áp dụng $\int D \cdot da = Q_{fenc}$ cho bề mặt Gauss được biểu diễn. $DA = \sigma A \Rightarrow D = \sigma$.

(Chú ý : $D = 0$ bên trong mảnh kim loại.) Điều này đúng ở cả hai tấm; D hướng xuống.

(b) $D = \epsilon E \Rightarrow E = \sigma/\epsilon_1$ ở tấm 1, $E = \sigma/\epsilon_0$ ở tấm 2. Nhưng $\epsilon = \epsilon_0 \epsilon_r$, vì vậy

$$\epsilon_1 = 2\epsilon_0; \epsilon_2 = \frac{3}{2}\epsilon_0. \quad E_1 = \sigma/2\epsilon_0, \quad E_2 = 2\sigma/3\epsilon_0.$$

(c) $p = \epsilon_0 \chi_e E$, vì vậy $P = \epsilon_0 \chi_e d / \epsilon_0 \epsilon_r = \chi_e / \epsilon_r$; $\chi_e = \epsilon_r - 1 \Rightarrow P = 1 - \epsilon_r^{-1} \sigma$.

$$P_1 = \sigma/2, \quad P_2 = \sigma/3.$$

(d) $V = E_1 a + E_2 a = \sigma a / 6\epsilon_0 \quad 3+4 = 7\sigma a / 6\epsilon_0.$

(e) $\rho_b = 0$; $\sigma_b = +P_1$ ở bên dưới tấm 1 = $\sigma/2$, $\sigma_b = +P_2$ ở bên dưới tấm 2 = $\sigma/3$,
 $\sigma_b = -P_1$ ở trên tấm 1 = $-\sigma/2$, $\sigma_b = +P_2$ ở trên tấm 2 = $-\sigma/3$,

(f) Ở tấm 1 : Điện tích bề mặt toàn phần bên trên : $\sigma - \sigma/2 = \sigma/2$

Diện tích bề mặt toàn phần bên dưới:

$$\sigma/2 - \sigma/3 + \sigma/3 - \sigma = -\sigma/2,$$

116

Ở tâm 2 : diện tích bề mặt toàn phần bên trên : $\sigma - \sigma/2 + \sigma/2 - \sigma/3 = 2\sigma/3,$

Diện tích bề mặt toàn phần bên dưới : $\sigma/3 - \sigma = -2\sigma/3,$

Bài tập 4.19

Khi không có điện môi, $C_0 = A\epsilon_0/d$ (Pt. 2.54).

Trong cấu hình (a) , với $+\sigma$ ở bảng trên , $-\sigma$ bên dưới , $D = \sigma$ giữa các bảng .

$E = \sigma/\epsilon_0$ (trong không khí) và $E = \sigma/\epsilon$ (trong điện môi). Vì vậy

$$V = \frac{\sigma}{\epsilon_0} \frac{d}{2} + \frac{\sigma}{\epsilon} \frac{d}{2} = \frac{Qd}{2\epsilon_0 A} \left(1 + \frac{\epsilon_0}{\epsilon} \right).$$

$$C_a = \frac{Q}{V} = \frac{\epsilon_0 A}{d} \left(\frac{2}{1 + \epsilon_r} \right) = \boxed{\frac{C_a}{C_0} = \frac{2\epsilon_0}{1 + \epsilon_r}}.$$

Trong cấu hình (b) , với sự chênh lệch thế $V : E = V/d$, so $\sigma = \epsilon_0 E = \epsilon_0 V/d$ (trong không khí).

$P = \epsilon_0 \chi_e V/d$ (trong điện môi) , vì vậy $\sigma_b = -\epsilon_0 \chi_e V/d$ (tại mặt trên của điện môi).

$\sigma_{tot} = \epsilon_0 V/d = \sigma_f + \sigma_b = \sigma_f - \epsilon_0 \chi_e V/d$, so $\sigma_f = \epsilon_0 V (1 + \chi_e) / d = \epsilon_0 \epsilon_r V/d$ (ở mảnh trên điện môi).

$$\Rightarrow C_b = \frac{Q}{V} = \frac{1}{V} \left(\sigma \frac{A}{2} + \sigma_f \frac{A}{2} \right) = \frac{A}{2V} \left(\epsilon_0 \frac{V}{d} + \epsilon_0 \frac{V}{d} \epsilon_r \right) = \frac{A\epsilon_0}{d} \left(\frac{1 + \epsilon_r}{2} \right). \boxed{\frac{C_b}{C_0} = \frac{1 + \epsilon_r}{2}}.$$

[Cái nào lớn hơn ?

$$\frac{C_b}{C_0} - \frac{C_a}{C_0} = \frac{1 + \epsilon_r}{2} - \frac{2\epsilon_r}{1 + \epsilon_r} = \frac{1 + \epsilon_r^2 - 4\epsilon_r}{2(1 + \epsilon_r)} = \frac{1 + 2\epsilon_r + 4\epsilon_r^2 - 4\epsilon_r}{2(1 + \epsilon_r)} = \frac{1 - \epsilon_r^2}{2(1 + \epsilon_r)} > 0. \text{ So } C_b > C_a]$$

Nếu trục x hướng xuống:

Bài tập 4.20

$$\int D.da = Q_{enc} \Rightarrow D4\pi r^2 = \rho \frac{4}{3} \pi r^3 \Rightarrow D = \frac{1}{3} \rho r \Rightarrow E = \rho r / 3\epsilon \hat{r}, \text{ đối với} \quad 117$$

$$r < R; D4\pi r^2 = \rho \frac{4}{3} \pi R^3 \Rightarrow D = \rho R^3 / 3r^2 \Rightarrow E = \rho R^3 / 3\epsilon_0 r^2 \hat{r}, \text{ for } r > R.$$

$$V = - \int_{\infty}^0 E.dl = \frac{\rho R^3}{3\epsilon_0} \frac{1}{r} \Big|_{\infty}^R - \frac{\rho}{3\epsilon} \int_R^0 r dr = \frac{\rho R^2}{3\epsilon_0} + \frac{\rho}{3\epsilon} \frac{R^2}{2} = \boxed{\frac{\rho R^2}{3\epsilon_0} \left(1 + \frac{1}{2\epsilon_r} \right)}.$$

Bài tập 4.21

Đặt Q là điện tích chiều dài l của vật dẫn bên trong.

$$\oint D.da = D2\pi sl = Q \Rightarrow D = \frac{Q}{2\pi sl}; \quad E = \frac{Q}{2\pi\epsilon_0 sl} \quad a < s < b, \quad E = \frac{Q}{2\pi\epsilon sl} \quad (b < r < c).$$

$$V = - \int_c^a E.dl = \int_a^b \left(\frac{Q}{2\pi\epsilon_0 l} \right) \frac{ds}{s} + \int_b^c \left(\frac{Q}{2\pi\epsilon l} \right) \frac{ds}{s} = \frac{Q}{2\pi\epsilon_0 l} \left[\ln \left(\frac{b}{a} \right) + \frac{\epsilon_0}{\epsilon} \ln \left(\frac{c}{b} \right) \right].$$

$$\frac{C}{l} = \frac{Q}{Vl} = \boxed{\frac{2\pi\epsilon_0}{\ln b/a + 1/\epsilon_r \ln c/b}}.$$

Bài tập 4.22

Phương pháp tương tự như ví dụ 4.7 : Giải phương trình Laplace đối với $V_{in} s, \phi$ ($s < a$) và $V_{out} s, \phi$ ($s > a$), thỏa điều kiện biên.

(i) $V_{in} = V_{out}$ tại $s = a$,

(ii) $\epsilon \frac{\partial V_{out}}{\partial s}$ tại $s = a$,

(iii) $V_{out} \rightarrow -E_0 s \cos \phi$ đối với $s \gg a$.

Từ bài tập 3.23 (dẫn ra điều kiện biên (iii)):

$$V_{in} s, \phi = \sum_{k=1}^{\infty} s^k a_k \cos k\phi + b_k \sin k\phi.$$

(Tôi đã khử các số hạng hằng số bằng cách đặt $V = 0$ trên mặt phẳng $y z$.) Điều kiện (i) nói

$$\sum a^k a_k \cos k\phi + b_k \sin k\phi = -E_0 s \cos \phi + \sum a^{-k} c_k \cos k\phi + d_k \sin k\phi,$$

Trong khi (ii) nói

$$\varepsilon_r \sum ka^{k-1} a_k \cos k\phi + b_k \sin k\phi = -E_0 \cos \phi - \sum ka^{-k-1} c_k \cos k\phi + d_k \sin k\phi .$$

Hiển nhiên $b_k = d_k = 0$ đối với tất cả k , $a_k = c_k = 0$ nếu k khác 1, trong khi đó $k = 1$,

$$aa_1 = -E_0 a + a^{-1} c_1, \quad \varepsilon_r a_1 = -E_0 - a^{-2} c_1 .$$

Giải tìm a_1 ,

$$a_1 = -\frac{E_0}{1 + \chi_e/2}, \quad \text{vì vậy } V_{in} s, \phi = -\frac{E_0}{1 + \chi_e/2} s \cos \phi = -\frac{E_0}{1 + \chi_e/2} x,$$

Và vì thế $E_{in} s, \phi = -\frac{\partial V_{in}}{\partial x} \hat{x} = \boxed{\frac{E_0}{1 + \chi_e/2}}$. Như trong trường hợp hình cầu (Ví dụ.

4.7), trường bên trong là đều.

Bài tập 4.23

$$P_0 = \varepsilon_0 \chi_e E_0; E_1 = -\frac{1}{3\varepsilon_0} P_0 = -\frac{\chi_e}{3} E_0; P_1 = \varepsilon_0 \chi_e E_1 = -\frac{\varepsilon_0 \chi_e^2}{3} E_0; E_2 = -\frac{1}{3\varepsilon_0} P_1 = \frac{\chi_e}{9} E_0; \dots$$

Hiển nhiên $E_n = \left(-\frac{\chi_e}{3}\right)^n E_0$, vì vậy

$$E = E_0 + E_1 + E_2 + \dots = \left[\sum_{n=0}^{\infty} \left(-\frac{\chi_e}{3}\right)^n \right] E_0 .$$

Chuỗi hình học có thể được cộng một cách tường minh :

$$\sum_{n=0}^{\infty} x^n = \frac{1}{1-x}, \quad \text{so } \boxed{E = \frac{1}{1 + \chi_e/3} E_0},$$

Phù hợp với pt. 4.49. [Kì lạ thay, thường thì phương pháp này đòi hỏi rằng $\chi_e < 3$ (ngược lại các chuỗi không xác định phân kì), tuy nhiên kết quả không chịu hạn chế như thế, bởi vì chúng ta cũng có thể nhận được nó bằng phương pháp của ví dụ. 4.7.]

Bài tập 4.24

Thế :

$$\begin{cases} V_{out} \ r, \theta = -E_0 r \cos \theta + \sum \frac{B_l}{r^{l+1}} P_l \cos \theta , \\ V_{med} \ r, \theta = \sum \left(A_l r^l + \frac{B_l}{r^{l+1}} \right) P_l \cos \theta , \quad (a < r < b) \\ V_{in} \ r, \theta = 0, \end{cases}$$

Các điều kiện biên :

$$\begin{cases} (i) \ V_{out} = V_{med}, (r = b); \\ (ii) \ \frac{\partial V_{med}}{\partial r} = \epsilon_0 \frac{\partial V_{out}}{\partial r} , (r = b) ; \\ (iii) \ V_{med} = 0 (r = a) \end{cases}$$

$$(i) \Rightarrow -E_0 b \cos \theta + \sum \frac{B_l}{b^{l+1}} P_l \cos \theta = \sum \left(A_l b^l + \frac{\bar{B}_l}{b^{l+1}} \right) P_l \cos \theta ;$$

$$(ii) \Rightarrow \epsilon_r \sum \left[l A_l b^{l-1} - l + 1 \frac{\bar{B}_l}{b^{l+2}} \right] P_l \cos \theta = -E_0 \cos \theta - \sum l + 1 \frac{B_l}{b^{l+2}} P_l \cos \theta ;$$

$$(iii) \Rightarrow A_l a^l + \frac{\bar{B}_l}{a^{l+1}} = 0 \Rightarrow -a^{2l+1} A_l .$$

Đổi với $l \neq 1$:

$$(i) \ -E_0 b + \frac{B_1}{b^2} = A_1 b - \frac{a^3 A_1}{b^2} \Rightarrow B_1 - E_0 b^3 = A_1 (2b^3 - a^3) ;$$

$$(ii) \ \epsilon_r \left(A_1 + 2 \frac{a^3 A_1}{b^3} \right) = -E_0 - 2 \frac{B_1}{b^3} \Rightarrow -2B_1 - E_0 b^3 = \epsilon_r A_1 (b^3 + 2a^3) .$$

$$\text{Vì vậy } -3E_0 b^3 = A_1 [2b^3 - a^3 + \epsilon_r (b^3 + 2a^3)] ; A_1 = \frac{-3E_0}{2[1 - a/b^3] + \epsilon_r [1 + 2a/b^3]} .$$

$$V_{med} = \frac{-3E_0}{2[1 - a/b^3] + \epsilon_r [1 + 2a/b^3]} \left(r - \frac{a^3}{r^2} \right) \cos \theta ,$$

$$E \ r, \theta = -\nabla V_{med} = \frac{3E_0}{2[1 - a/b^3] + \epsilon_r [1 + 2a/b^3]} \left\{ \left(1 + \frac{2a^3}{r^3} \right) \cos \theta \hat{r} - \left(1 - \frac{a^3}{r^3} \right) \sin \theta \hat{\theta} \right\} .$$

Có 4 điện tích liên quan : (i) q , (ii) xung quanh điện tích phân cực q , (iii) điện tích bề mặt σ_b trên mặt trên của điện môi thấp hơn, (iv) điện tích bề mặt σ'_b trên bề mặt thấp hơn của điện môi bên trên. Khi nhìn phương trình. 4.39 , điện tích biên (ii) bằng $q_p = -q \chi'_e / (1 + \chi'_e)$, vì vậy điện tích (điểm) toàn phần tại $(0, 0, d)$ bằng $q_t = q + q_p = q / (1 + \chi'_e) = q / \epsilon'_r$. Như trong ví dụ. 4.8,

$$(a) \quad \sigma_b = \epsilon_0 \chi_e \left[\frac{-1}{4\pi\epsilon_0} \frac{qd/\epsilon'_r}{r^2 + d^2} - \frac{\sigma_b}{2\epsilon_0} - \frac{\sigma'_b}{2\epsilon_0} \right] \quad (\text{ở đây } \sigma_b = P \cdot \hat{n} = +P_z = \epsilon_0 \chi_e E_z);$$

$$(b) \quad \sigma'_b = \epsilon_0 \chi'_e \left[\frac{1}{4\pi\epsilon_0} \frac{qd/\epsilon'_r}{r^2 + d^2} - \frac{\sigma_b}{2\epsilon_0} - \frac{\sigma'_b}{2\epsilon_0} \right] \quad (\text{ở đây } \sigma_b = -P_z = -\epsilon_0 \chi'_e E_z);$$

Giải cho σ_b , σ'_b : đầu tiên chia cho χ_e và χ'_e và viết gọn:

$$\frac{\sigma'_b}{\chi'_e} - \frac{\sigma_b}{\chi_e} = \frac{1}{2\pi} \frac{qd/\epsilon'_r}{r^2 + d^2} \Rightarrow \sigma'_b = \chi'_e \left[\frac{\sigma_b}{\chi_e} + \frac{1}{2\pi} \frac{qd/\epsilon'_r}{r^2 + d^2} \right].$$

Thế biểu thức này vào (a) và giải tìm σ_b , dùng $\epsilon'_r = 1 + \chi'_e$:

$$\sigma_b = \frac{-1}{4\pi} \frac{qd/\epsilon'_r}{r^2 + d^2} \chi_e (1 + \chi'_e) - \frac{\sigma_b}{2} \chi_e + \chi'_e \quad , \text{ vì vậy}$$

$$\boxed{\sigma_b = \frac{-1}{4\pi} \frac{qd}{r^2 + d^2} \frac{\epsilon_r \chi'_e / \epsilon'_r}{\left[1 + \chi_e + \chi'_e / 2 \right]}.}$$

Điện tích biên tổng cộng bằng $\sigma_t = \sigma_b + \sigma'_b = \frac{1}{4\pi} \frac{qd}{r^2 + d^2} \frac{\chi'_e - \chi_e}{\varepsilon'_r \left[1 + \frac{\chi_e + \chi'_e}{2}\right]}$ (NB)

sẽ biến mất khi $\chi'_e = \chi_e$). Điện tích biên tổng cộng là (so sánh Pt. 4.51) :

$$q_t = \frac{\chi'_e - \chi_e}{2\varepsilon'_r} \frac{q}{\left[1 + \frac{\chi_e + \chi'_e}{2}\right]} = \left(\frac{\varepsilon'_r - \varepsilon_r}{\varepsilon'_r + \varepsilon_r} \right) \frac{q}{\varepsilon'_r}, \text{ và vì thế}$$

$$V_r = \frac{1}{4\pi\varepsilon_0} \left\{ \frac{q/\varepsilon'_r}{\sqrt{x^2 + y^2 + z - d^2}} + \frac{q_t}{\sqrt{x^2 + y^2 + z + d^2}} \right\} \text{ (đối với } z > 0 \text{)}$$

Trong khi đó, bởi vì $\frac{q}{\varepsilon'_r} + q_t = \frac{q}{\varepsilon'_r} \left[1 + \frac{\varepsilon'_r - \varepsilon_r}{\varepsilon'_r + \varepsilon_r}\right] = \frac{2q}{\varepsilon'_r + \varepsilon_r}$,

$$V_r = \frac{1}{4\pi\varepsilon_0} \frac{\left[2q / (\varepsilon'_r + \varepsilon_r)\right]}{\sqrt{x^2 + y^2 + z - d^2}} \text{ (đối với } z < 0 \text{)}.$$

Bài tập 4.26

Từ ví dụ. 4.5:

$$D = \left\{ \begin{array}{l} 0, r < a \\ \frac{Q}{4\pi r^2} \hat{r}, r > a \end{array} \right\}, \quad E = \left\{ \begin{array}{l} 0, r < a \\ \frac{Q}{4\pi\varepsilon r^2} \hat{r}, a < r < b \\ \frac{Q}{4\pi\varepsilon_0 r^2} \hat{r}, r > b \end{array} \right\}$$

$$\begin{aligned}
W &= \frac{1}{2} \int D \cdot E dr = \frac{1}{2} \frac{Q}{4\pi^2} 4\pi \left\{ \frac{1}{\epsilon} \int_a^b \frac{1}{r^2} \frac{1}{r^2} r^2 dr + \frac{1}{\epsilon_0} \int_b^\infty \frac{1}{r^2} dr \right\} = \frac{Q^2}{8\pi} \left\{ \frac{1}{\epsilon} \left(\frac{-1}{r} \right) \Big|_a^b + \frac{1}{\epsilon_0} \left(\frac{-1}{r} \right) \Big|_b^\infty \right\} \\
&= \frac{Q^2}{8\pi\epsilon_0} \left\{ \frac{1}{1+\chi_e} \left(\frac{1}{a} - \frac{1}{b} \right) + \frac{1}{b} \right\} = \boxed{\frac{Q^2}{8\pi\epsilon_0} \frac{1}{1+\chi_e} \left(\frac{1}{a} + \frac{\chi_e}{b} \right)}.
\end{aligned}$$

Bài tập 4.27

Dùng pt. 4.55 : $W = \frac{\epsilon_0}{2} \int E^2 dr$. Từ ví dụ. 4.2 và Pt. 3.103 ,

$$E = \begin{cases} \frac{-1}{3\epsilon_0} P \hat{z}, & r < R \\ \frac{R^3 P}{3\epsilon_0 r^3} 2 \cos \theta \hat{r} + \sin \theta \hat{\theta}, & r > R \end{cases}, \text{ vì vậy}$$

$$W_{r < R} = \frac{\epsilon_0}{2} \left(\frac{P}{3\epsilon_0} \right)^2 \frac{4}{3} \pi R^3 = \frac{2\pi}{27} \frac{P^2 R^3}{\epsilon_0}.$$

$$W_{tot} = \boxed{\frac{2\pi R^3 P^2}{9\epsilon_0}}$$

Đây là năng lượng tương tác tĩnh điện của cấu hình, nhưng nó không phải là “ công toàn phần cần thiết để tập hợp hệ ,” vì nó bỏ đi cơ năng liên quan đến sự phân cực phân tử.

Dùng Pt. 4.58 : $W = \frac{1}{2} \int D \cdot E dr$. Đối với $r < R$, $D = \epsilon_0 E + P = -\frac{1}{3} P + P = \frac{2}{3} P$, vì vậy

$$\frac{1}{2} D \cdot E = -2 \frac{\epsilon_0}{2} E^2, \text{ và bây giờ đóng góp này là } -2 \left(\frac{2\pi}{27} \frac{P^2 R^3}{\epsilon_0} \right) = -\frac{4\pi}{27} \frac{R^3 P^2}{\epsilon_0}, \text{ chính}$$

xác triết tiêu số hạng bên ngoài . Kết luận: $\boxed{W_{tot} = 0}$. Điều này không có gì lạ, vì

đạo hàm trong phần. 4.4.3 tính toán công được thực hiện trên diện tích tự do, và trong bài toán này không có diện tích tự do in sight. Tuy nhiên, bởi vì đây là ¹²³ điện môi phi tuyến, kết quả không thể được giải thích là “ công cần thiết để gắn kết hệ thống” – cái sau sẽ hoàn toàn phụ thuộc vào cách bạn gắn kết nó .

Bài tập 4.28

Đầu tiên tìm điện dung, như hàm theo h :

$$\left. \begin{aligned} \text{Phần không khí :} \quad E &= \frac{2\lambda}{4\pi\epsilon_0 s} \Rightarrow V = \frac{2\lambda}{4\pi\epsilon_0} \ln b/a \\ D &= \frac{2\lambda'}{4\pi s} \Rightarrow E = \frac{2\lambda'}{4\pi\epsilon s} \Rightarrow V = \frac{2\lambda'}{4\pi\epsilon} \ln b/a \end{aligned} \right\} \Rightarrow \frac{\lambda}{\epsilon_0} = \frac{\lambda'}{\epsilon}; \lambda' = \frac{\epsilon}{\epsilon_0} \lambda = \epsilon_r \lambda.$$

Phần dầu :

$$Q = \lambda' h + \lambda l - h = \epsilon_r \lambda h - \lambda h + \lambda l = \lambda [\epsilon_r - 1 h + l] = \lambda \chi_e h + l, \text{ ở đây } l \text{ là tổng chiều dài.}$$

$$C = \frac{Q}{V} = \frac{\lambda \chi_e h + l}{2\lambda \ln b/a} 4\pi\epsilon_0 = 2\pi\epsilon_0 \frac{\chi_e h + l}{\ln b/a}$$

$$\text{Đây là lực toàn phần hướng lên được cho bởi Pt. 4.64 : } F = \frac{1}{2} V^2 \frac{dC}{dh} = \frac{1}{2} V^2 \frac{2\pi\epsilon_0 \chi_e}{\ln b/a}$$

$$\text{Trọng lực hướng xuống bằng } F = mg = \rho \pi b^2 - a^2 gh$$

Bài tập 4.29

$$(a) \text{ Eq. 4.5 } \Rightarrow F_2 = p_2 \nabla E_1 = p_2 \frac{\partial}{\partial y} E_1 ;$$

$$\text{Pt. 3.103 } E_1 = \frac{P_1}{4\pi\epsilon_0 r^3} \hat{\theta} = -\frac{P_1}{4\pi\epsilon_0 y^3} \hat{z} . \text{ Do đó}$$

$$E_2 = -\frac{p_1 p_2}{4\pi\epsilon_0} \left[\frac{d}{dy} \left(\frac{1}{y^3} \right) \right] \hat{z} = \frac{3p_1 p_2}{4\pi\epsilon_0 y^4} \text{ or } \boxed{F_2 = \frac{3p_1 p_2}{4\pi\epsilon_0 r^4} \hat{z}} \text{ (hướng lên)}$$

Để tính F_1 , đặt p_2 ở gốc tọa độ, theo hướng z ; thế thì p_1 nằm tại $-r\hat{z}$, và hướng theo hướng $-\hat{y}$. Vì vậy $F_1 = p_1 \nabla E_2 = -p_1 \frac{\partial E_2}{\partial y} \Big|_{x=y=0, z=-r}$; chúng ta cần E_2

như hàm theo x, y , và z .

Từ pt. 3.104: $E_2 = \frac{1}{4\pi\epsilon_0} \frac{1}{r^3} \left[\frac{3 p_2 \cdot r}{r^2} - p \right]$, ở đây $r = x\hat{x} + y\hat{y} + z\hat{z}$, $p_2 = -p_2\hat{y}$, và vì thế $p_2 \cdot r = -p_2 y$

$$E_2 = \frac{p_2}{4\pi\epsilon_0} \left[\frac{-3y x\hat{x} + y\hat{y} + z\hat{z} + x^2 + y^2 + z^2}{x^2 + y^2 + z^2} \hat{y} \right] = \frac{p_2}{4\pi\epsilon_0} \left[\frac{-3xy\hat{x} + x^2 - 2y^2 + z^2}{x^2 + y^2 + z^2} \hat{y} - 3yz\hat{z} \right]$$

$$\frac{\partial E_2}{\partial y} = \frac{p_2}{4\pi\epsilon_0} \left\{ -\frac{5}{2} \frac{1}{r^7} 2y \left[-3xy\hat{x} + x^2 - 2y^2 + z^2 \hat{y} - 3yz\hat{z} \right] + \frac{1}{r^5} \left[-3x\hat{x} - 4y\hat{y} + 3z\hat{z} \right] \right\}$$

$$\frac{\partial E_2}{\partial y} \Big|_{0,0} = \frac{p_2}{4\pi\epsilon_0} \frac{-3z}{r^5} \hat{z}; F_1 = -p_1 \left(\frac{p_2}{4\pi\epsilon_0} \frac{3r}{r^5} \hat{z} \right) = \boxed{-\frac{3p_1 p_2}{4\pi\epsilon_0 r^4} \hat{z}}$$

Kết quả phù hợp với định luật III Newton: $F_1 = -F_2$.

(c) Từ trang 165, $N_2 = p_2 \times E_1 + r \times F_2$. Số hạng thứ nhất được tính trong bài tập. 4.5; số hạng thứ hai chúng ta nhận được từ (a), dùng $r = r\hat{y}$:

$$p_2 \times E_1 = \frac{p_1 p_2}{4\pi\epsilon_0 r^3} -\hat{x}; r \times F_2 = r\hat{y} \times \left(\frac{3p_1 p_2}{4\pi\epsilon_0 r^4} \hat{z} \right) = \frac{3p_1 p_2}{4\pi\epsilon_0 r^3} \hat{x}; \text{ vì vậy } \boxed{N_2 = \frac{2p_1 p_2}{4\pi\epsilon_0 r^3} \hat{x}}$$

Cái này bằng và ngược dấu với momen p_1 do p_2 , đối với tâm của p_1 (xem bài tập. 4.5).

Bài tập 4.30

Lực toàn phần ở bên phải (xem đồ thị). Chú ý rằng các đường sức trường phải phình ở bên phải, như được biểu diễn, vì E vuông góc với bề mặt của mỗi vật dẫn.

Bài tập 4.31

$$P = kr = k \ x\hat{x} + y\hat{y} + z\hat{z} \Rightarrow \rho_b = -\nabla \cdot P = -k \ 1+1+1 = \boxed{-3k} .$$

Diện tích biên thể tích tổng cộng : $\boxed{Q_{vol} = -3ka^3}$

$\sigma_b = P \cdot \hat{n}$. Ở bề mặt trên, $\hat{n} = \hat{z}, z = a/2$; so $\sigma_b = ka/2$. Rõ ràng , $\boxed{\sigma_b = ka/2}$ trên tất cả sáu mặt .

Diện tích biên bề mặt toàn phần : $\boxed{Q_{surf} = 6 \ ka/2 \ a^2 = 3ka^3}$. Diện tích biên tổng cộng bằng không .

Bài tập 4.32

$$\oint D \cdot da = Q_{fenc} \Rightarrow D = \frac{q}{4\pi r^2} \hat{r}; E = \frac{1}{\epsilon} D = \frac{q}{4\pi\epsilon_0 \ 1 + \chi_e} \frac{\hat{r}}{r^2}; P = \epsilon_0 \chi_e E = \frac{q \chi_e}{4\pi \ 1 + \chi_e} \frac{\hat{r}}{r^2} .$$

$$\rho_b = -\nabla \cdot P = -\frac{q \chi_e}{4\pi \ 1 + \chi_e} \left(\nabla \cdot \frac{\hat{r}}{r^2} \right) = \boxed{-q_1 \frac{\chi_e}{1 + \chi_e} \delta^3 \ r} ; Eq.1.99 ; \sigma_b = P \cdot \hat{r} = \boxed{\frac{q \chi_e}{4\pi \ 1 + \chi_e} \ R^2}$$

$$Q_{surf} = \sigma_b \ 4\pi R^2 = \boxed{q \frac{\chi_e}{1 + \chi_e}} . \text{ Sự bù điện tích âm ở tâm:}$$

$$\int \rho_b dr = -\frac{q \chi_e}{1 + \chi_e} \int \delta^3 \ r \ dr = -\frac{q \chi_e}{1 + \chi_e} .$$

Bài tập 4.33

E liên tục (Pt. 4.29) ; $D \perp$ liên tục (Pt. 4.26 , với $\sigma_f = 0$) . Vì vậy

$$E_{x_1} = E_{x_2}; D_{y_1} = D_{y_2} \Rightarrow \epsilon_1 E_{y_1} = \epsilon_2 E_{y_2} , \text{ và vì thế}$$

$$\frac{\tan \theta_2}{\tan \theta_1} = \frac{E_{x_2}/E_{y_2}}{E_{x_1}/E_{y_1}} = \frac{E_{y_1}}{E_{y_2}} = \frac{\epsilon_2}{\epsilon_1} . \text{ qed}$$

Nếu 1 là không khí và 2 là điện môi , $\frac{\tan \theta_2}{\tan \theta_1} = \frac{\epsilon_2}{\epsilon_1} > 1$, và các đường sức trường bị

cong ra khỏi đường pháp tuyến . Đây là phía đối diện của các tia sáng, vì vậy thấu kính lồi sẽ làm lệch tiêu các đường sức trường.

Bài tập 4.34

Từ Pt. 4.39 , momen lưỡng cực toàn phần ở tâm là $p' = p - \frac{1}{1+\chi_e} p = \frac{1}{1+\chi_e} p = \frac{1}{\epsilon_r} p$

. Chúng ta muốn thể được tạo ra bởi p' (tại tâm) và σ_b (tại R). Dùng phương

$$\text{pháp tách biến : } \left\{ \begin{array}{l} \text{Outside: } V_{r,\theta} = \sum_{l=0}^{\infty} \frac{B_l}{r^{l+1}} P_l \cos \theta \quad \text{Eq.3.72} \\ \text{Inside: } V_{r,\theta} = \frac{1}{4\pi\epsilon_0} \frac{p \cos \theta}{\epsilon_r r^2} + \sum_{l=0}^{\infty} A_l r^l P_l \cos \theta \quad \text{Eqs.3.66,3.102} \end{array} \right.$$

$$V \text{ liên tục tại R } R \Rightarrow \left\{ \begin{array}{l} \frac{B_l}{R^{l+1}} = A_l R^l \quad B_l = R^{2l+1} A_l \\ \text{hoặc} \\ \frac{B_l}{R^2} = \frac{1}{4\pi\epsilon_0} \frac{p}{\epsilon_r R^2} + A_l B, \quad B_l = \frac{p}{4\pi\epsilon_0 \epsilon_r} + A_l R^3 \end{array} \right. .$$

$$\begin{aligned} \frac{\partial V}{\partial r} \Big|_{R+} - \frac{\partial V}{\partial r} \Big|_{R-} &= -\sum l+1 \frac{B_l}{R^{l+2}} P_l \cos \theta + \frac{1}{4\pi\epsilon_0} \frac{2p \cos \theta}{\epsilon_r R^3} - \sum l A_l R^{l-1} P_l \cos \theta = -\frac{1}{\epsilon_0} \sigma_b \\ &= -\frac{1}{\epsilon_0} P \cdot \hat{r} = -\frac{1}{\epsilon_0} \epsilon_0 \chi_e E \hat{r} = \chi_e \frac{\partial V}{\partial r} \Big|_{R-} = \chi_e \left\{ -\frac{1}{4\pi\epsilon_0} \frac{2p \cos \theta}{\epsilon_r R^3} + \sum l A_l R^{l-1} P_l \cos \theta \right\}. \end{aligned}$$

$$-l+1 \frac{B_l}{R^{l+2}} - l A_l R^{l-1} = \chi_e l A_l R^{l-1} \quad l \neq 1 ; \text{ or } -2l+1 A_l R^{l-1} = \chi_e l A_l R^{l-1} \Rightarrow A_l = 0 \quad l \neq 1 .$$

Đối với $l = 1$

$$\begin{aligned} -2 \frac{B_1}{R^3} + \frac{1}{4\pi\epsilon_0} \frac{2p}{\epsilon_r R^3} - A_1 &= \chi_e \left(-\frac{1}{4\pi\epsilon_0} \frac{2p}{\epsilon_r R^3} + A_1 \right) - B_1 + \frac{p}{4\pi\epsilon_0 \epsilon_r} - \frac{A_1 R^3}{2} = -\frac{1}{4\pi\epsilon_0} \frac{\chi_e p}{\epsilon_r} + \chi_e \frac{A_1 R^3}{2} \\ -\frac{p}{4\pi\epsilon_0 \epsilon_r} - A_1 R^3 + \frac{p}{4\pi\epsilon_0 \epsilon_r} - \frac{A_1 R^3}{2} &= -\frac{1}{4\pi\epsilon_0} \frac{\chi_e p}{\epsilon_r} + \chi_e \frac{A_1 R^3}{2} \Rightarrow \frac{A_1 R^3}{2} (3 + \chi_e) = \frac{1}{4\pi\epsilon_0} \frac{\chi_e p}{\epsilon_r} \\ \Rightarrow A_1 &= \frac{1}{4\pi\epsilon_0} \frac{2\chi_e p}{R^3 \epsilon_r (3 + \chi_e)} = \frac{1}{4\pi\epsilon_0} \frac{2}{R^3 \epsilon_r} \frac{\epsilon_r - 1}{\epsilon_r + 2} p ; B_1 = \frac{p}{4\pi\epsilon_0 \epsilon_r} \left[1 + \frac{2(\epsilon_r - 1)}{\epsilon_r + 2} \right] = \frac{p}{4\pi\epsilon_0 \epsilon_r} \frac{3\epsilon_r}{\epsilon_r + 2}. \end{aligned}$$

$$V_{r,\theta} = \left(\frac{q \cos \theta}{4\pi\epsilon_0 r^2} \right) \left(\frac{3}{\epsilon_r + 2} \right) \quad r \geq R .$$

$$r \leq R, V_{r,\theta} = \frac{1}{4\pi\epsilon_0} \frac{p \cos \theta}{\epsilon_r r^2} + \frac{1}{4\pi\epsilon_0} \frac{p r \cos \theta}{R^3} \frac{2\epsilon_r - 1}{\epsilon_r + 2}$$

Trong khi đó, đối với

$$\frac{p \cos \theta}{4\pi\epsilon_0 r^2 \epsilon_r} \left[1 + 2 \left(\frac{\epsilon_r - 1}{\epsilon_r + 2} \right) \frac{r^3}{R^3} \right] \quad r \leq R .$$

Bài tập 4.35

Hai nghiệm cho trước, V_1 (and $E_1 = -\nabla V_1, D_1 = \epsilon E_1$) V_2 $E_2 = -\nabla V_2, D_2 = \epsilon E_2$,
xác định $V_3 \equiv V_2 - V_1$ $E_3 = E_2 - E_1, D_3 = D_2 - D_1$.

$$\int_V \nabla \cdot V_3 D_3 \, dr = \int_S V_3 D_3 \cdot da = 0, \quad (\nabla V_3 = 0 \text{ trên } S), \text{ vì vậy } \int \nabla V_3 \cdot D_3 \, dr + \int V_3 \nabla \cdot D_3 \, dr = 0.$$

Nhưng $\nabla \cdot D_3 = \nabla \cdot D_2 - \nabla \cdot D_1 = \rho_f - \rho_f = 0$, và $\nabla V_3 = \nabla V_2 - \nabla V_1 = -E_2 + E_1 = -E_3$, vì vậy
 $\int E_3 \cdot D_3 \, dr = 0$.

Nhưng $D_3 = D_2 - D_1 = \epsilon E_2 - \epsilon E_1 = \epsilon E_3$, vì vậy $\int \epsilon E_3^2 \, dr = 0$. Nhưng $\epsilon > 0$, vì vậy
 $E_3 = 0$, vì vậy $V_2 - V_1 = \text{constant}$. Nhưng tại bề mặt, $V_2 = V_1$, so $V_2 = V_1$ ở mọi nơi.
qed

Bài tập 4.36

(a) Thế được đề xuất : $V_r = V_0 \frac{R}{r}$ Nếu vậy, thì $E = -\nabla V = V_0 \frac{R}{r^2} \hat{r}$ trong

trường hợp mà $P = \epsilon_0 \chi_e V_0 \frac{R}{r^2} \hat{r}$, trong vùng $z < 0$. (Tất nhiên, $P = 0$ đối

với $z > 0$) . Do đó $\sigma_b = \epsilon_0 \chi_e V_0 \frac{R}{r^2} \hat{r} \cdot \hat{n} = \left[-\frac{\epsilon_0 \chi_e V_0}{R} \right]$ (Chú ý : hướng ra ngoài

điện môi $\Rightarrow \hat{n} = -\hat{r}$) . Cái này ở trên bề mặt tại $r = R$. Mặt phẳng $z = 0$
không mang điện tích biên, bởi vì $\hat{n} = \hat{z} \perp \hat{r}$. Cũng không có điện tích
biên thể tích (Pt. 4.39) . Nếu V có đối xứng cầu cần thiết, điện tích toàn
phần phải đều:

$\sigma_{tot} 4\pi R^2 = Q_{tot} = 4\pi\epsilon_0 R V_0$ (bởi vì $V_0 = Q_{tot}/4\pi\epsilon_0 R$, so $\sigma_{tot} = \epsilon_0 V_0/R$. Do đó

128

$$\sigma_f = \begin{cases} \epsilon_0 V_0/R & \text{on northern hemisphere} \\ \epsilon_0 V_0/R + \chi_e & \text{on southern hemisphere} \end{cases}.$$

(b) Bằng cách xây dựng, $\sigma_{tot} = \sigma_b + \sigma_f = \epsilon_0 V_0/R$ là đều (trên bán cầu bắc $\sigma_b = 0, \sigma_f = \epsilon_0 V_0/R$; trên bán cầu nam $\sigma_b = -\epsilon_0 \chi_e V_0/R$, so $\sigma_f = \epsilon_0 V_0/R$). Thế của quả cầu điện tích đều là

$$V_0 = \frac{Q_{tot}}{4\pi\epsilon_0 r} = \frac{\sigma_{tot} 4\pi R^2}{4\pi\epsilon_0 r} = \frac{\epsilon_0 V_0}{R} \frac{R^2}{\epsilon_0 r} = V_0 \frac{R}{r}.$$

(c) Bởi vì mọi thứ phù hợp, và các điều kiện biên ($V = V_0$ at $r = R$ at ∞) phù hợp, Bài tập. 4.35 đảm bảo rằng đây là nghiệm.

(d) Hình (b) làm việc theo cách, nhưng hình. (a) thì không: ở bề mặt phẳng, P không vuông góc với, vì vậy chúng ta nhận được điện tích biên trên bề mặt này, phá vỡ đối xứng.

Bài tập 4.37

$E_{ext} = \frac{\lambda}{2\pi\epsilon_0 s} \hat{s}$ Bởi vì hình cầu nhỏ, cái này về cơ bản là không đổi, và vì thế

$$P = \frac{\epsilon_0 \chi_e}{1 + \chi_e/3} E_{ext} \quad (\text{Ví dụ. 4.7})$$

$$F = \int \left(\frac{\epsilon_0 \chi_e}{1 + \chi_e/3} \right) \left(\frac{\lambda}{2\pi\epsilon_0 s} \right) \frac{d}{ds} \left(\frac{\lambda}{2\pi\epsilon_0 s} \right) \hat{s} dr = \left(\frac{\epsilon_0 \chi_e}{1 + \chi_e/3} \right) \left(\frac{\lambda}{2\pi\epsilon_0 s} \right)^2 \left(\frac{1}{s} \right) \left(\frac{-1}{s^2} \right) \hat{s} \int dr$$

$$= \left(\frac{-\chi_e}{1 + \chi_e/3} \right) \left(\frac{\lambda^2}{4\pi^2 \epsilon_0} \right) \frac{1}{s^3} \frac{4}{3} \pi R^3 \hat{s} = \boxed{- \left(\frac{\chi_e}{3 + \chi_e} \right) \frac{\lambda^2 R^3}{\pi \epsilon_0 s^3} \hat{s}.$$

Bài tập 4.38

Mật độ nguyên tử bằng $N = \frac{1}{4/3 \pi R^3}$. Điện trường vĩ mô E bằng, ở đây E_{self} là trường trung bình trên hình cầu do chính nguyên tử.

$$p = \alpha E_{else} \Rightarrow P = N\alpha E_{else}.$$

[Thực sự, nó là trường tại tâm, không phải trung bình trên hình cầu, mà thuộc ở đây, nhưng quả thực hai cái bằng nhau, như chúng ta thấy trong bài tập. 3.41.]
Bây giờ

$$(Pt. 3.105) , \text{ vì vậy } E_{self} = -\frac{1}{4\pi\epsilon_0} \frac{\alpha}{R^3} E_{esle}$$

$$E = -\frac{1}{4\pi\epsilon_0} \frac{\alpha}{R^3} E_{esle} + E_{else} = \left(1 - \frac{\alpha}{4\pi\epsilon_0 R^3}\right) E_{esle} = \left(1 - \frac{N\alpha}{3\epsilon_0}\right) E_{esle} .$$

Vì vậy

$$P = \frac{N\alpha}{1 - N\alpha/3\epsilon_0} E = \epsilon_0 \chi_e E,$$

Và vì thế

$$\chi_e = \frac{N\alpha/\epsilon_0}{1 - N\alpha/3\epsilon_0}.$$

$$\text{Giải tìm } \alpha : \chi_e - \frac{N\alpha}{3\epsilon_0} \chi_e = \frac{N\alpha}{\epsilon_0} \Rightarrow \frac{N\alpha}{\epsilon_0} \left(1 + \frac{\chi_e}{3}\right) = \chi_e,$$

$$\text{Hoặc } \alpha = \frac{\epsilon_0}{N} \frac{\chi_e}{1 + \chi_e/3} = \frac{3\epsilon_0}{N} \frac{\chi_e}{3 + \chi_e}. \text{ Nhưng } \chi_e = \epsilon_r - 1, \text{ vì vậy } \alpha = \frac{3\epsilon_0}{N} \left(\frac{\epsilon_r - 1}{\epsilon_r + 2}\right). \text{ qed}$$

Bài tập 4.39

Đối với khí lí tưởng, $N =$ số Avagadro / 22.4 lít

$$= 6.02 \times 10^{23} / 22.4 \times 10^{-3} = 2.7 \times 10^{25}. N\alpha/\epsilon_0 = 2.7 \times 10^{25} \cdot 4\pi\epsilon_0 \times 10^{-30} \beta/\epsilon_0 = 3.4 \times 10^{-4} \beta$$

, ở đây là số được liệt kê trong bảng 4.1 .

$$\left. \begin{array}{l} \text{H} : \beta = 0.667, N\alpha/\epsilon_0 = 3.4 \times 10^{-4} \quad 0.67 = 2.3 \times 10^{-4}, \chi_e = 2.5 \times 10^4 \\ \text{He} : \beta = 0.205, N\alpha/\epsilon_0 = 3.4 \times 10^{-4} \quad 0.21 = 7.1 \times 10^{-5}, \chi_e = 6.5 \times 10^4 \\ \text{Ne} : \beta = 0.396, N\alpha/\epsilon_0 = 3.4 \times 10^{-4} \quad 0.40 = 1.4 \times 10^{-4}, \chi_e = 1.3 \times 10^4 \\ \text{Ar} : \beta = 1.64, N\alpha/\epsilon_0 = 3.4 \times 10^{-4} \quad 1.64 = 5.6 \times 10^{-4}, \chi_e = 5.2 \times 10^4 \end{array} \right\} \text{phù hợp khá tốt .}$$

Bài tập 4.40

(a)

$$\begin{aligned} \langle u \rangle &= \frac{\int_{-pE}^{pE} u e^{-u/kT} du}{\int_{-pE}^{pE} e^{-u/kT} du} = \frac{kT^2 e^{-u/kT} \left[-u/kT - 1 \right] \Big|_{-pE}^{pE}}{-kT e^{-u/kT} \Big|_{-pE}^{pE}} \\ &= kT \left\{ \frac{\left[e^{-pE/kT} - e^{pE/kT} \right] + \left[pE/kT e^{-pE/kT} + pE/kT e^{pE/kT} \right]}{e^{-pE/kT} - e^{pE/kT}} \right\} \\ &= kT - pE \left[\frac{e^{pE/kT} + e^{-pE/kT}}{e^{pE/kT} - e^{-pE/kT}} \right] = kT - pE \coth \left(\frac{pE}{kT} \right). \end{aligned}$$

$$P = N p ; p = p \cos \theta \quad \hat{E} = P.E \quad \hat{E}/E = -\langle u \rangle \hat{E}/E ; P = N_p \frac{-\langle u \rangle}{pE} = \boxed{N_p \left\{ \coth \left(\frac{pE}{kT} \right) - \frac{kT}{pE} \right\}}.$$

Đặt $y \equiv P/N_p$; $x \equiv pE/kT$. Thế thì $y = \coth x - 1/x$.

Khi $x \rightarrow 0$, $y = \left(\frac{1}{x} + \frac{x}{3} - \frac{x^3}{45} + \dots \right) - \frac{1}{x} = \frac{x}{3} - \frac{x^3}{45} + \dots \rightarrow 0$, vì vậy đồ thị bắt đầu tại gốc tọa độ, với hệ số góc ban đầu bằng $1/3$. Khi $x \rightarrow \infty$, $y \rightarrow \coth \infty = 1$, vì vậy đồ thị tiến tới tiệm cận $y = 1$ (xem hình).

(b) Đối với $x, y \approx \frac{1}{3}x$, nhỏ, vậy $\frac{P}{N_p} \approx \frac{pE}{3kT}$, or $P \approx \frac{Np^2}{3kT} E = \epsilon_0 \chi_e E \Rightarrow P$ tỉ lệ với E , và

$$\boxed{\chi_e = \frac{Np^2}{3\epsilon_0 kT}}$$

Đối với nước tại

$$20^\circ = 293K, p = 6.1 \times 10^{-30} \text{ Cm}; N = \frac{\text{molecules}}{\text{volume}} = \frac{\text{molecules}}{\text{mole}} \times \frac{\text{moles}}{\text{gram}} \times \frac{\text{gram}}{\text{volume}}.$$

$$N = 6.0 \times 10^{23} \times \left(\frac{1}{18} \right) \times 10^6 = 0.33 \times 10^{29}; \chi_e = \frac{0.33 \times 10^{29} \cdot 6.1 \times 10^{-30}{}^2}{3 \cdot 8.85 \times 10^{-12} \cdot 1.38 \times 10^{-23} \cdot 293} = \boxed{12}.$$

Table 4.2 gives an experimental value of 79 , so it's pretty far off .

For water vapor at $100^\circ = 373K$, treated as an ideal gas ,

$$\frac{\text{volume}}{\text{mole}} = 22.4 \times 10^{-3} \times \left(\frac{373}{293} \right) = 2.85 \times 10^{-2} m^3$$

$$N = \frac{6.0 \times 10^{23}}{2.85 \times 10^{-2}} = 2.11 \times 10^{25}; \chi_e = \frac{2.11 \times 10^{25} \cdot 6.1 \times 10^{-30} \cdot 2}{3 \cdot 8.85 \times 10^{-12} \cdot 1.38 \times 10^{-23} \cdot 373} = \boxed{5.7 \times 10^{-3}}$$

Bảng 4.2 cho 5.9×10^{-3} , vì vậy lúc này phù hợp khá tốt.

Chương 5

Tĩnh từ

Bài tập 5.1

Bởi vì $v \times B$ hướng lên, và đó cũng là hướng của lực, q phải dương. Để tìm R , theo a và d , dùng định lí Pythagore :

$$R - d^2 + a^2 = R^2 \Rightarrow R^2 - 2Rd + d^2 + a^2 = R^2 \Rightarrow R = \frac{a^2 + d^2}{2d}$$

Công thức cyclotron cho ta

$$p = qBR = \boxed{qB \frac{a^2 + d^2}{2d}}$$

Bài tập 5.2

Nghiệm tổng quát là (Eq. 5.6) :

$$y(t) = C_1 \cos \omega t + C_2 \sin \omega t + \frac{E}{B}t + C_3; z(t) = C_2 \cos \omega t - C_1 \sin \omega t + C_4$$

(a) $y(0) = z(0) = 0; \dot{y}(0) = E/B; \dot{z}(0) = 0$. Dùng những cái này để xác định C_1 , C_2 , C_3 , và C_4 .

$$y(0) = 0 \Rightarrow C_1 + C_3 = 0; \dot{y}(0) = \omega C_2 + E/B \Rightarrow C_2 = 0; z(0) = 0 \Rightarrow C_2 + C_4 = 0 \Rightarrow C_4 = 0,$$

$$\dot{z}(0) = 0 \Rightarrow C_1 = 0 \text{ và vì thế } C_3 = 0 . \text{ Vì vậy } \boxed{y(t) = Et/B; z(t) = 0} . \text{ Điều này có ý}$$

nghĩa gì ? Lực từ bằng $q v \times B = -q E/B \hat{z} = -qE \hat{z}$, nó triệt tiêu lực điện ; vì không có lực toàn phần, hạt di chuyển theo đường thẳng với tốc độ không đổi.

(b) Giả sử nó bắt đầu di chuyển từ gốc tọa độ, vì vậy $C_3 = -C_1, C_4 = -C_2$ chúng ta có $\dot{z}(0) = 0 \Rightarrow C_1 = 0 \Rightarrow C_3 = 0$;

$$y(0) = -\frac{E}{2B} \Rightarrow C_2\omega + \frac{E}{B} = \frac{E}{2B} \Rightarrow C_2 = -\frac{E}{2\omega B} = -C_4; y(t) = -\frac{E}{2\omega B} \sin \omega t + \frac{E}{B} t;$$

$$z(t) = -\frac{E}{2\omega B} \cos \omega t + \frac{E}{2\omega B}, \text{ hoặc}$$

$$\boxed{y(t) = \frac{E}{2\omega B} [2\omega t - \sin \omega t]; z(t) = \frac{E}{2\omega B} [1 - \cos \omega t]}. \text{ Đặt } \beta \equiv E/2\omega B$$

Thế thì

$$y(t) = \beta [2\omega t - \sin \omega t]; z(t) = \beta [1 - \cos \omega t]; y - 2\beta\omega t = -\beta \sin \omega t, z - \beta = -\beta \cos \omega t \Rightarrow$$

.

$$(y - 2\beta\omega t)^2 + (z - \beta)^2 = \beta^2. \text{ Đây là đường tròn mà tâm của bán kính của nó}$$

chuyển động sang phải với tốc độ không đổi: $y_0 = 2\beta\omega t; z_0 = \beta$.

(c)

$$\dot{z}(0) = \dot{y}(0) = \frac{E}{B} \Rightarrow -C_1\omega = \frac{E}{B} \Rightarrow C_1 = -C_3 = -\frac{E}{\omega B}; C_2\omega + \frac{E}{B} = \frac{E}{B} \Rightarrow C_2 = C_4 = 0$$

$$y(t) = -\frac{E}{\omega B} \cos -\omega t + \frac{E}{B} t + \frac{E}{\omega B}; z(t) = \frac{E}{\omega B} \sin \omega t. \boxed{y(t) = \frac{E}{\omega B} [t + \omega t - \cos \omega t]; z(t) = \frac{E}{\omega B} \sin \omega t.}$$

Đặt $\beta \equiv E/\omega B$, thế thì

$$[y - \beta(1 + \omega t)] = -\beta \cos \omega t, z = \beta \sin \omega t; [y - \beta(1 + \omega t)]^2 + z^2 = \beta^2. \text{ Đây là đường}$$

tròn bán kính β tâm của nó ở tại $y_0 = \beta(1 + \omega t), z_0 = 0$.

Bài tập 5.3

(a) Từ Pt. 5.2, $F = q[E + v \times B] = 0 \Rightarrow E = vB \Rightarrow \boxed{v = \frac{E}{B}}$

(b) Từ pt. 5.3 , $mv = qER \Rightarrow \frac{q}{m} = \frac{v}{BR} = \frac{E}{B^2 R}$.

Bài tập 5.4

Giả sử rằng I chảy ngược chiều kim đồng hồ (nếu không, đổi dấu trong đáp số) .
 Lực ở về trái (hướng sang trái) triệt tiêu lực ở phía phải (hướng sang bên phải)
 ; lực ở trên bằng $IaB = Iak \ a/2 = Ika^2/2$, (hướng lên trên) , và lực ở dưới bằng
 $IaB = -I\sqrt{a^2 + b^2}ka^2/2$ (cũng hướng lên trên) . Vì vậy lực toàn phần bằng
 $F = \boxed{Ika^2 \hat{z}}$

Bài tập 5.5

(a) $K = \frac{I}{2\pi a}$ vì chiều dài vuông góc với dòng chảy là đường tròn.

(b) $J = \frac{\alpha}{s} \Rightarrow I = \int J da = \alpha \int_s^1 s ds d\phi = 2\pi\alpha \int ds = 2\pi\alpha a \Rightarrow \alpha = \frac{I}{2\pi a}$; $J = \frac{I}{2\pi as}$

Bài tập 5.6

(a) $v = \omega r$, so $K = \sigma\omega r$ (b) $v = \omega r \sin\theta\phi \Rightarrow J = \rho\omega r \sin\theta\phi$ ở đây $\rho \equiv Q/4/3 \pi R^3$

Bài tập 5.7

$\frac{dP}{dt} = \frac{d}{dt} \int_v \rho r . dr = \int \left(\frac{\partial \rho}{\partial t} \right) r dr = - \int \nabla . J \ r dr$ (bằng phương trình liên tục) . Bây giờ

quy tắc tích #5 cho ta $\nabla . xJ = x \nabla . J + J . \nabla x$. Nhưng $\nabla x = \hat{x}$, vì vậy

$$\nabla . xJ = x \nabla . J + J_z$$

$$\text{Vì thế } \int_v \nabla . J \ x dr = \int_v \nabla . xJ \ dr - \int_v J_x dr$$

Số hạng đầu tiên bằng $\int_s xJ . da$ (qua định lí divergence) , và bởi vì J hoàn toàn

bên trong , nó bằng không trên bề mặt. Do đó $\int_v \nabla . J \ x dr = - \int_v J_x dr$, hoặc , kết hợp

cái này với các thành phần y và z , $\int_v \nabla . J \ r dr = - \int_v J dr$. Hoặc quay lại dòng thứ

$$\text{nhất, } \frac{dP}{dt} = \int J dr \text{ qed}$$

Bài tập 5.8

(a) Dùng Pt. 5.35 , với $z = R, \theta_2 = -\theta_1 = 45^\circ$, và bốn phía : $B = \frac{\sqrt{2}\mu_0 I}{\pi R}$.

(b) $z = R, \theta_2 = -\theta_1 = \frac{\pi}{n}$, và n phía: $B = \frac{n\mu_0 I}{2\pi R} \sin \pi/n$.

(c) Đối với nhỏ $\theta, \sin \theta \approx \theta$. Khi $n \rightarrow \infty, B \rightarrow \frac{n\mu_0 I}{2\pi R} \left(\frac{\pi}{n} \right) = \frac{\mu_0 I}{2R}$ (tương tự như Pt. 5.38 , với $z = 0$)

Bài tập 5.9

(a) Các phần đường thẳng không tạo ra trường tại P . Hai phần tư đường tròn cho $B = \frac{\mu_0 I}{s} \left(\frac{1}{a} - \frac{1}{b} \right)$ (out) .

(b) Hai phần hai đường thẳng tương tự như một đường thẳng không xác định: $\frac{\mu_0 I}{2\pi R}$; Nửa đường tròn đóng góp $\frac{\mu_0 I}{4R}$

Vì vậy $B = \frac{\mu_0 I}{4R} \left(1 + \frac{2}{\pi} \right)$ (vào trang giấy)

Bài tập 5.10

(a) Các lực ở hai phía triệt tiêu . Ở dưới, $B = \frac{\mu_0 I}{2\pi s} \Rightarrow F = \left(\frac{\mu_0 I}{2\pi s} \right) I a = \frac{\mu_0 I}{2\pi y} \hat{z}$; (

lên) . Ở trên, $B = \frac{\mu_0 I}{2\pi s+a} \Rightarrow F = \frac{\mu_0 I^2 a}{2\pi s+a}$ (xuống) . Lực toàn phần bằng

$\frac{\mu_0 I^2 a^2}{2\pi s s+a}$ (lên) .

(b) Lực ở dưới giống như trước, $\mu_0 I^2 / 2\pi$. Ở phía trái , $B = \frac{\mu_0 I}{2\pi y} \hat{z}$

$dF = I dl \times B = I dx\hat{x} + dy\hat{y} + dz\hat{z} \times \left(\frac{\mu_0 I}{2\pi y} \hat{z} \right) = \frac{\mu_0 I^2}{2\pi y} -dx\hat{y} + dy\hat{x}$. Nhưng thành phần

trệt tiêu số hạng tương ứng ở vế phải, và $F_y = -\frac{\mu_0 I^2}{2\pi} \int_{s/\sqrt{3}}^{s/\sqrt{3}+a/2} \frac{1}{y} dx$. Ở đây $y = \sqrt{3}x$,

vì vậy

$F_y = -\frac{\mu_0 I^2}{2\sqrt{3}\pi} \ln\left(\frac{s/\sqrt{3} + a/2}{s/\sqrt{3}} \right) = -\frac{\mu_0 I^2}{2\sqrt{3}\pi} \ln\left(1 + \frac{\sqrt{3}a}{2s} \right)$. Lực ở vế phải tương tự , vì vậy

lực toàn phần trên tam giác là $\boxed{\frac{\mu_0 I^2}{2\pi} \left[1 - \frac{2}{\sqrt{3}} \ln\left(1 + \frac{\sqrt{3}a}{2s} \right) \right]}$

Bài tập 5.11

Dùng Pt. 5.38 đối với vòng có độ rộng dz , với $I \rightarrow nI dz$

$B = \frac{\mu_0 nI}{2} \int \frac{a^2}{a^2 + z^2} dz$. Nhưng $z = a \cot \theta$

Vì vậy $dz = -\frac{a}{\sin^2 \theta}$, và $\frac{1}{a^2 + z^2} = \frac{\sin^3 \theta}{a^3}$

Vì vậy

$B = \frac{\mu_0 nI}{2} \int \frac{a^2 \sin^3 \theta}{a^3 \sin^2 \theta} -a d\theta = -\frac{\mu_0 nI}{2} \int \sin \theta d\theta = \frac{\mu_0 nI}{2} \cos \theta \Big|_{\theta_1}^{\theta_2} = \boxed{\frac{\mu_0 nI}{2} \cos \theta_2 - \cos \theta_1}$.

Đối với solenoid vô hạn , $\theta_2 = 0, \theta_1 = \pi$, vì vậy $\cos \theta_2 - \cos \theta_1 = 1 - (-1) = 2$

và $B = \boxed{\mu_0 nI}$.

Bài tập 5.12

Lực hút từ trên một đơn vị chiều dài (Pt. 5.37 và 5.13) : $f_m = \frac{\mu_0 \lambda^2 v^2}{2\pi d}$.

Điện trường của một sợi dây (Pt. 2.9) : $E = \frac{1}{2\pi\epsilon_0} \frac{\lambda}{s}$. Lực đẩy điện trên một đơn

vị chiều dài trên các dây kia $f_e = \frac{1}{2\pi\epsilon_0} \frac{\lambda^2}{d}$. Chúng cân bằng khi $\mu_0 v^2 = \frac{1}{\epsilon_0}$, hoặc

$$v = \frac{1}{\sqrt{\epsilon_0 \mu_0}} \text{ . Thế số vào } \quad v = \frac{1}{\sqrt{8.85 \times 10^{-12} \cdot 4\pi \times 10^{-7}}} = \boxed{3.00 \times 10^8 \text{ m/s}}$$

Đây đúng là tốc độ ánh sáng (!), vì vậy thực sự bạn có thể không bao giờ có được dây đi đủ nhanh ; lực điện luôn luôn chiếm ưu thế.

Bài tập 5.13

$$(a) \quad \oint \mathbf{B} \cdot d\mathbf{l} = B2\pi s = \mu_0 I_{enc} \Rightarrow \mathbf{B} = \begin{cases} 0, & \text{For } s < a \\ \frac{\mu_0 I}{2\pi s} \hat{\phi}, & \text{For } s > a \end{cases}$$

$$(b) \quad j = ks; I = \int_0^a J da = \int_0^a ks \cdot 2\pi s \, ds = \frac{2\pi k a^3}{3} \Rightarrow k = \frac{3I}{2\pi a^3} \text{ .}$$

$$\frac{2\pi ks^3}{3} = I \frac{s^3}{a^3}, \text{ đối với } s < a; I_{enc} = I, \text{ đối với } s > a \text{ . Vì vậy } \mathbf{B} = \begin{cases} \frac{\mu_0 I s^2}{2\pi a^3} \hat{\phi}, & \text{For } s < a \\ \frac{\mu_0 I}{2\pi s} \hat{\phi}, & \text{For } s > a \end{cases}$$

Problem 5.14

By the right-hand-rule , the field points in the $-\hat{y}$ direction for $z > 0$, and in the $+\hat{y}$ direction for $z < 0$. At $z = 0$, $\mathbf{B} = 0$. Use the amperian loop shown :

$$\oint \mathbf{B} \cdot d\mathbf{l} = Bl = \mu_0 I_{enc} = \mu_0 l z J \Rightarrow \mathbf{B} = -\mu_0 J z \hat{y} \quad -a < z < a \text{ . If } z > a, I_{enc} = \mu_0 l a J ,$$

$$\text{So } \mathbf{B} = \begin{cases} -\mu_0 J a \hat{y}, & \text{for } z > +a \\ +\mu_0 J a \hat{y}, & \text{for } z > -a \end{cases}$$

Problem 5.15

The field inside a solenoid is $\mu_0 n I$, and outside it is zero . The outer solenoid's field points to the left $-\hat{z}$ whereas the inner one points to the right $+\hat{z}$. So :(i)

$$\boxed{B = \mu_0 I (n_1 - n_2) \hat{z}}, \quad (ii) \quad \boxed{B = -\mu_0 I n_2 \hat{z}} \quad (iii) \quad \boxed{B = 0} \text{ .}$$

Problem 5.16

From Ex. 5.8 , the top plate produces a field $\mu_0 K/2$ (aiming out of the page ¹³⁷, for points above it , and into the page , for points below) . The bottom plate produces a field $\mu_0 K/2$ (aiming into the page , for points above it , and out of the page , for points below) . Above and below both plates the two fields cancel ; between the plates they add up to $\mu_0 K$, pointing in .

(a) $B = \mu_0 \sigma v$ in between the plates , $B = 0$ elsewhere .

(b) The Lorentz Force law says $F = \int K \times B da$, so the force per unit area is $f = K \times B$. Here $K = \sigma v$, to the right , and B (the field of the lower plate) is , into the plate . So $f_m = \mu_0 \sigma^2 v^2 / 2$ up .

(c) The electric field of the lower plate is $\sigma/2\epsilon_0$; the electric force per unit area on the upper plate is $f_e = \sigma^2/2\epsilon_0$ (down) . They balance if

$$\mu_0 v^2 = 1/\epsilon_0, \text{ or } v = 1/\sqrt{\epsilon_0 \mu_0} = c \text{ (the speed of light) , as in Prob. 5.12.}$$

Problem 5.17

We might as well orient the axes so the field point r lies on the y axis : $x=(0, y, 0)$. Consider a source point at (x', y', z') on loop # 1 :

$$= -x' \hat{x} + (y - y') \hat{y} - z' \hat{z}; dl' = dx' \hat{x} + dy' \hat{y};$$

$$dl' \times r = \begin{vmatrix} \hat{x} & \hat{y} & \hat{z} \\ dx' & dy' & 0 \\ -x' & y - y' & -z' \end{vmatrix} = -z' dy' \hat{x} + z' dx' \hat{y} + [y - y' dx' + x' dy'] \hat{z}.$$

$$dB_1 = \frac{\mu_0 I}{4\pi} \frac{dl' \times r}{r^3} = \frac{\mu_0 I}{4\pi} \frac{-z' dy' \hat{x} + z' dx' \hat{y} + [y - y' dx' + x' dy'] \hat{z}}{[x'^2 + (y - y')^2 + z'^2]^{3/2}}$$

Now consider the symmetrically placed source element on loop # 2 , at $(x', y', -z')$. Since z changes sign , while every - thing else is the same , the \hat{x} and \hat{y} components from dB_1 and dB_2 cancel , leaving only a \hat{z} component . qed

With this , Ampere's law yields immediately ;

$B = \begin{cases} \mu_0 n I \hat{z}, & \text{Inside the solenoid;} \\ 0, & \text{Outside} \end{cases}$	138
---	-----

(the same as for a circular solenoid – Ex.5.9).

For the toroid , $N/2\pi s = n$ (the number of turns per unit length) , so Eq.5.58 yields $B = \mu_0 n I$ inside , and zero outside , consistent with the solenoid . [Note : $N/2\pi s = n$ applies only if the toroid is large in circumference , so that s is essentially constant over the cross – section .]

Problem 5.18

It doesn't matter . According to Theorem 2 , in Sect . 1.6.2 , $\int J \cdot da$ is independent of surface , for any given boundary line , provided that J is divergenceless , which it is , for steady currents (Eq. 5.31) .

Problem 5.19

(a) $\rho = \frac{\text{charge}}{\text{volume}} = \frac{\text{charge}}{\text{atom}} \cdot \frac{\text{atoms}}{\text{mole}} \cdot \frac{\text{moles}}{\text{gram}} \cdot \frac{\text{grams}}{\text{volume}} = e N \left(\frac{1}{M} \right) d$, where

- e = charge of electron = $1.6 \times 10^{-19} C$
- N = Avogadro's number = $6.0 \times 10^{23} \text{ mole}$
- M = atomic mass of copper = 64 gm/mole
- d = density of copper = 9.0 gm/cm^3

$\rho = 1.6 \times 10^{-19} \cdot 6.0 \times 10^{23} \left(\frac{9.0}{64} \right) = \boxed{1.4 \times 10^4 C/cm^3}$

(b) $J = \frac{I}{\pi s^2} = \rho v \Rightarrow v = \frac{I}{\pi s^2 \rho} = \frac{1}{\pi \cdot 2.5 \times 10^{-3} \cdot 1.4 \times 10^4} = \boxed{9.1 \times 10^{-3} cm/s}$ or about 33

cm/s . This is astonishing small – literally slower than a snail's pace .

(c) From Eq. 5.37 , $f_m = \frac{\mu_0}{2\pi} \left(\frac{I_1 I_2}{d} \right) = \frac{4\pi \times 10^{-7}}{2\pi} = \boxed{2 \times 10^{-7} N/cm}$

(d) , where $E = \frac{1}{2\pi\epsilon_0} \frac{\lambda}{d}$;

$$f_e = \frac{1}{2\pi\epsilon_0} \left(\frac{\lambda_1 \lambda_2}{d} \right) = \frac{1}{v^2} \frac{1}{2\pi\epsilon_0} \left(\frac{I_1 I_2}{d} \right) = \left(\frac{c^2}{v^2} \right) \frac{\mu_0}{2\pi} \left(\frac{I_1 I_2}{d} \right) = \frac{c^2}{v^2} f_m, \text{ where}$$

$$c \equiv 1/\epsilon_0 \mu_0 = 3.00 \times 10^8 \text{ m/s. Here } \frac{f_e}{f_m} = \frac{c^2}{v^2} = \left(\frac{3.0 \times 10^{10}}{9.1 \times 10^{-3}} \right)^2 = \boxed{1.1 \times 10^{25}}.$$

$$f_e = 1.1 \times 10^{25} \cdot 2 \times 10^{-7} = \boxed{2 \times 10^{18} \text{ N/cm}}$$

Problem 5.20

Ampere's law says $\nabla \times B = \mu_0 J$. Together with the continuity equation (5.29)

this gives $\nabla \cdot \nabla \times B = \mu_0 \nabla \cdot J = -\mu_0 \partial \rho / \partial t$, which is inconsistent unless ρ is

constant (magnetostatics) . The other Maxwell equations are OK :

$\nabla \times E = 0 \Rightarrow \nabla \cdot \nabla \times E = 0$, and as for the two divergence equations , there is no

relevant vanishing second derivative (the other one is curl (grad) , which doesn't involve the divergence) .

Problem 5.21

At this stage I'd expect no changes in Gauss's law or Ampere's law . The

divergence of B would take the form $\boxed{\nabla \cdot B = \alpha_0 \rho_m}$, where ρ_m is the density of

magnetic charge , and α_0 is some constant (analogous to and μ_0) . The curl of

E becomes $\boxed{\nabla \times E = \beta_0 J_m}$, where J_m is the magnetic current density (

representing the flow of magnetic charge) , and β_0 is another constant .

Presumably magnetic charge is conserved , so ρ_m and J_m satisfy a continuity

equation : $\nabla \cdot J_m = -\partial \rho_m / \partial t$

As for the Lorentz force law , one might guess something of the form

$q_m [B + v \times E]$ (where q_m is the magnetic charge) . But this is dimensionally

impossible , since E has the same units as vB . Evidently we need to divide

$v \times E$ by something with the dimensions of velocity – squared . The natural

candidate is $c^2 = 1/\epsilon_0\mu_0$:
$$F = q_e \left[E + v \times B \right] + q_m \left[B - \frac{1}{c^2} v \times E \right]$$
. In this form the

magnetic analog to Coulomb's law reads $F = \frac{\alpha_0}{4\pi} \frac{q_{m_1} q_{m_2}}{r^2} \hat{r}$, so to determine we would first introduce (arbitrarily) a unit of magnetic charge, then measure the force between unit charges at a given separation. [for further details, and an explanation of the minus sign in the force law, see Prob. 7.35]

Problem 5.22

$$\begin{aligned}
 A &= \frac{\mu_0}{4\pi} \int \frac{I \hat{z}}{r} dz = \frac{\mu_0 I}{4\pi} \hat{z} \int_{z_1}^{z_2} \frac{dz}{\sqrt{z^2 + s^2}} \\
 &= \frac{\mu_0 I}{4\pi} \hat{z} \left[\ln \left(z + \sqrt{z^2 + s^2} \right) \right]_{z_1}^{z_2} = \frac{\mu_0 I}{4\pi} \ln \left[\frac{z_2 + \sqrt{z_2^2 + s^2}}{z_1 + \sqrt{z_1^2 + s^2}} \right] \hat{z} \\
 B &= \nabla \times A = -\frac{\partial A}{\partial s} \hat{\phi} = -\frac{\mu_0 I}{4\pi} \left[\frac{1}{z_2 + \sqrt{z_2^2 + s^2}} \frac{s}{\sqrt{z_2^2 + s^2}} - \frac{1}{z_1 + \sqrt{z_1^2 + s^2}} \frac{s}{\sqrt{z_1^2 + s^2}} \right] \hat{\phi} \\
 &= -\frac{\mu_0 I s}{4\pi} \left[\frac{z_2 - \sqrt{z_2^2 + s^2}}{z_2^2 - z_2^2 + s^2} \frac{1}{\sqrt{z_2^2 + s^2}} - \frac{z_2 - \sqrt{z_2^2 + s^2}}{z_2^2 - z_2^2 + s^2} \frac{1}{\sqrt{z_2^2 + s^2}} - \frac{z_1 - \sqrt{z_1^2 + s^2}}{z_1^2 - z_1^2 + s^2} \frac{1}{\sqrt{z_1^2 + s^2}} \right] \hat{\phi} \\
 &= -\frac{\mu_0 I s}{4\pi} \left(-\frac{1}{s^2} \right) \left[\frac{z_2}{\sqrt{z_2^2 + s^2}} - 1 - \frac{z_1}{\sqrt{z_1^2 + s^2}} + 1 \right] \hat{\phi} = \frac{\mu_0 I}{4\pi s} \left[\frac{z_2}{\sqrt{z_2^2 + s^2}} - \frac{z_1}{\sqrt{z_1^2 + s^2}} \right] \hat{\phi},
 \end{aligned}$$

Or, since $\sin \theta_1 = \frac{z_1}{\sqrt{z_1^2 + s^2}}$ and $\sin \theta_2 = \frac{z_2}{\sqrt{z_2^2 + s^2}}$,

$$\frac{\mu_0 I}{4\pi s} (\sin \theta_2 - \sin \theta_1) \hat{\phi} \quad (\text{as in Eq. 5.35}).$$

Problem 5.23

$$A_\phi = k \Rightarrow B = \nabla \times A = \frac{1}{s} \frac{\partial}{\partial s} s k \hat{z}; J = \frac{1}{\mu_0} \nabla \times B = \frac{1}{\mu_0} \left[-\frac{\partial}{\partial s} \left(\frac{k}{s} \right) \right] \hat{\phi} = \boxed{\frac{k}{\mu_0 s^2} \hat{\phi}} . \quad 141$$

Problem 5.24

$$\nabla \cdot A = -\frac{1}{2} \nabla \cdot r \times B = -\frac{1}{2} [B \cdot \nabla \times r - r \cdot \nabla \times B] = 0 \text{ since } \nabla \times B = 0 \text{ (B is uniform)}$$

and $\nabla \times r = 0$

$$\text{(Prob. 1.62) . } \nabla \times A = -\frac{1}{2} \nabla \times r \times B = -\frac{1}{2} [B \cdot \nabla r - r \cdot \nabla B + r \nabla \cdot B - B \nabla \cdot r] . \text{ But}$$

$$r \cdot \nabla B = 0 \text{ and } \nabla \cdot B = 0 \text{ (since B is uniform) , and } \nabla \cdot r = \frac{\partial x}{\partial x} + \frac{\partial y}{\partial x} + \frac{\partial z}{\partial z} = 1+1+1=3 .$$

Finally ,

$$B \cdot \nabla r = \left(B_x \frac{\partial}{\partial x} + B_y \frac{\partial}{\partial y} + B_z \frac{\partial}{\partial z} \right) x\hat{x} + y\hat{y} + z\hat{z} = B_x \hat{x} + B_y \hat{y} + B_z \hat{z} = B . \text{ So}$$

$$\nabla \times A = -\frac{1}{2} B - 3B = B .$$

Problem 5.25

(a) A points in the same direction as \hat{z} , and is a function only of s (the distance from the wire) . In cylindrical coordinates , then , $A = A(s) \hat{z}$, so

$$B = \nabla \times A = -\frac{\partial A}{\partial s} \hat{\phi} = \frac{\mu_0 I}{2\pi s} \hat{\phi} \text{ (the field of an infinite wire) . Therefore } \frac{\partial A}{\partial s} = -\frac{\mu_0 I}{2\pi s} \text{ and}$$

$$\boxed{A(s) = -\frac{\mu_0 I}{2\pi} \ln s/a} \hat{z} \text{ (the constant is arbitrary ; you could use 1 , but then the$$

$$\text{units look fishy) . } \nabla \cdot A = \frac{\partial A_z}{\partial z} = 0 . \nabla \times A = -\frac{\partial A_z}{\partial s} \hat{\phi} = \frac{\mu_0 I}{2\pi s} \hat{\phi} = B .$$

$$\text{(b) Here Ampere's law gives } \oint B \cdot dl = B 2\pi s = \mu_0 I_{enc} = \mu_0 J \pi s^2 = \mu_0 \frac{I}{\pi R^2} \pi s^2 = \frac{\mu_0 I s^2}{R^2} .$$

$$B = \frac{\mu_0 I s}{2\pi R^2} \hat{\phi} . \frac{\partial A}{\partial s} = -\frac{\mu_0 I}{2\pi R^2} s \Rightarrow A = -\frac{\mu_0 I}{4\pi R^2} s^2 - b^2 \hat{z} . \text{ Here b is again arbitrary ,}$$

except that since A must be continuous at R ,

$$-\frac{\mu_0 I}{2\pi} \ln R/a = -\frac{\mu_0 I}{4\pi R^2} (R^2 - b^2) \text{ which means that we must pick } a \text{ and } b \text{ such that}$$

$$2 \ln R/b = 1 - b/R^2 \dots \text{ I'll use } a=b=R \text{ . Then } A = \begin{cases} -\frac{\mu_0 I}{4\pi R^2} (s^2 - R^2) \hat{z}, & \text{for } s \leq R \\ -\frac{\mu_0 I}{2\pi} \ln s/R \hat{z}, & \text{for } s \geq R \end{cases}$$

Problem 5.26

$$K = K\hat{x} \Rightarrow B = \pm \frac{\mu_0 K}{2} \hat{y} \text{ (plus for } z < 0 \text{ , minus for } z > 0 \text{) .}$$

A is parallel to K , and depends only on z , so $A = A_z \hat{x}$

$$B = \nabla \times A = \begin{vmatrix} \hat{x} & \hat{y} & \hat{z} \\ \partial/\partial x & \partial/\partial y & \partial/\partial z \\ A_z & 0 & 0 \end{vmatrix} = \frac{\partial A}{\partial z} \hat{y} = \pm \frac{\mu_0 K}{2} \hat{y}$$

$$A = -\frac{\mu_0 K}{2} |z| \hat{x} \text{ will do the job-or this plus any constant .}$$

Problem 5.27

$$(a) \nabla \cdot A = \frac{\mu_0}{4\pi} \int \nabla \cdot \left(\frac{J}{r} \right) = \frac{1}{r} \nabla \cdot J + J \cdot \nabla \left(\frac{1}{r} \right) . \text{ But the first term is zero , because}$$

$J(r')$ is a function of the source coordinates , not the field coordinates . And

$$\text{since } r = r - r', \nabla \left(\frac{1}{r} \right) = -\nabla' \left(\frac{1}{r} \right) . \text{ So } \nabla \cdot \left(\frac{J}{r} \right) = -J \cdot \nabla' \left(\frac{1}{r} \right) . \text{ But}$$

$$\nabla' \left(\frac{J}{r} \right) = \frac{1}{r} \nabla' \cdot J + J \cdot \nabla' \left(\frac{1}{r} \right) , \text{ and } \nabla' \cdot J = 0 \text{ in magnetostatics (Eq. 5.31) So}$$

$$\nabla \cdot \left(\frac{J}{r} \right) = -\nabla' \cdot \left(\frac{J}{r} \right) , \text{ and hence , by the divergence theorem ,}$$

$$\nabla \cdot A = -\frac{\mu_0}{4\pi} \int \nabla' \cdot \left(\frac{J}{r} \right) dr' = -\frac{\mu_0}{4\pi} \oint \frac{J}{r} \cdot da' \text{ where the integral is now over the surface}$$

surrounding all the currents . But $J = 0$ on this surface , so $\nabla \cdot A = 0$

(b) $\nabla \times A = \frac{\mu_0}{4\pi} \int \nabla \times \left(\frac{J}{r} \right) d\tau' = \frac{\mu_0}{4\pi} \int \left[\frac{1}{r} \nabla \times J - J \times \nabla \left(\frac{1}{r} \right) \right] d\tau'$. But $\nabla \times J = 0$ (since J is

not a function of r) and $\nabla \left(\frac{1}{r} \right) = -\frac{\hat{r}}{r^2}$ (Eq. 1.101) , so $\nabla \times A = \frac{\mu_0}{4\pi} \int \frac{J \times \hat{r}}{r^2} d\tau' = B$

(c) $\nabla^2 A = \frac{\mu_0}{4\pi} \int \nabla^2 \left(\frac{J}{r} \right) dr'$. But $\nabla^2 \left(\frac{J}{r} \right) = J \nabla^2 \left(\frac{1}{r} \right)$ (once again , J is a constant , as far as differentiat-ion with respect to r is concerned , and $\nabla^2 \left(\frac{1}{r} \right) = -4\pi\delta^3 r$ (Eq .

1.102)

So $\nabla^2 A = \frac{\mu_0}{4\pi} \int J r' \left[-4\pi\delta^3 r \right] d\tau' = -\mu_0 J r$

Problem 5.28

$\mu_0 I = \oint B \cdot dl = - \int_a^b \nabla U \cdot dl = - [U b - U a]$ (by the gradient theorem) , so

$U b \neq U a$. qed

For an infinite straight wire , $B = \frac{\mu_0 I}{2\pi s} \hat{\phi}$. $U = -\frac{\mu_0 I \phi}{2\pi}$, would do the job , in the

sense that $-\nabla U = \frac{\mu_0 I}{2\pi} \nabla \phi = \frac{\mu_0 I}{2\pi} \frac{1}{s} \frac{\partial \phi}{\partial \phi} \hat{\phi} = B$. But when advances by , this function

does not return to its initial value ; it works (say) for $0 \leq \phi < 2\pi$, but at 2π it “jumps” back to zero.

Problem 5.29

Use Eq. 5.67 , with $R \rightarrow \bar{r}$ and $\sigma \rightarrow \rho d\bar{r}$:

$$A = \frac{\mu_0 \omega \rho}{3} \frac{\sin \theta}{r^2} \hat{\phi} \int_0^r \bar{r} d\bar{r} + \frac{\mu_0 \omega \rho}{3} r \sin \theta \hat{\phi} \int_r^R \bar{r} d\bar{r}$$

$$= \left(\frac{\mu_0 \omega \rho}{3} \right) \sin \theta \left[\frac{1}{r^2} \left(\frac{r^5}{5} \right) + \frac{r}{2} (R^2 - r^2) \right] \hat{\phi} = \frac{\mu_0 \omega \rho}{2} r \sin \theta \left(\frac{R^2}{3} - \frac{r^2}{5} \right) \hat{\phi}$$

$$B = \nabla \times A = \frac{\mu_0 \omega \rho}{2} \left\{ \frac{1}{r \sin \theta} \frac{\partial}{\partial \theta} \left[\sin \theta r \sin \theta \left(\frac{R^2}{3} - \frac{r^2}{5} \right) \right] \hat{r} - \frac{1}{r} \frac{\partial}{\partial r} \left[r^2 \sin \theta \left(\frac{R^2}{3} - \frac{r^2}{5} \right) \right] \hat{\theta} \right\}$$

$$= \mu_0 \omega \rho \left[\left(\frac{R^2}{3} - \frac{r^2}{5} \right) \cos \theta \hat{r} - \left(\frac{R^2}{3} - \frac{2r^2}{5} \right) \sin \theta \hat{\theta} \right] \text{ But } \rho = \frac{Q}{4/3 \pi R^3}, \text{ so}$$

$$= \frac{\mu_0 \omega Q}{4\pi R} \left[\left(1 - \frac{3r^2}{5R^2} \right) \cos \theta \hat{r} - \left(1 - \frac{6r^2}{5R^2} \right) \sin \theta \hat{\theta} \right]$$

Problem 5.30

(a)

$$\left\{ \begin{array}{l} -\frac{\partial W_z}{\partial x} = F_y \Rightarrow W_z(x, y, z) = -\int_0^x F_y(x', y, z) dx' + C_1(y, z) \\ \frac{\partial W_y}{\partial x} = F_z \Rightarrow W_y(x, y, z) = +\int_0^x F_z(x', y, z) dx' + C_2(y, z) \end{array} \right.$$

These satisfy (ii) and (iii), for any C_1 and C_2 ; it remains to choose these functions so as to satisfy (i):

$$-\int_0^z \frac{\partial F_y(x', y, z)}{\partial y} dx' + \frac{\partial C_1}{\partial y} - \int_0^z \frac{\partial F_z(x', y, z)}{\partial z} dx' - \frac{\partial C_2}{\partial z} = F_x(x, y, z) \quad \text{But } \frac{\partial F_x}{\partial x} + \frac{\partial F_y}{\partial y} + \frac{\partial F_z}{\partial z} = 0, \text{ so}$$

$$\int_0^x \frac{\partial F_z(x', y, z)}{\partial x'} dx' + \frac{\partial C_1}{\partial y} - \frac{\partial C_2}{\partial z} = F_x(x, y, z) \quad \text{Now } \int_0^x \frac{\partial F_x(x', y, z)}{\partial x'} dx' = F_x(x, y, z) - F_x(0, y, z)$$

$$\text{, so } \frac{\partial C_1}{\partial y} - \frac{\partial C_2}{\partial z} = F_x(0, y, z) \quad \text{We may as well pick } C_2 = 0, C_1(y, z) = \int_0^y F_x(0, y', z) dy'$$

and we're done, with $W_z = 0$; $W_y = \int_0^y F_z(x', y, z) dx' - \int_0^x F_y(x', y, z) dx'$;

$$W_z = \int_0^y F_x(0, y', z) dy' - \int_0^x F_y(x', y, z) dx'$$

$$(b) \nabla \times W = \left(\frac{\partial W_z}{\partial y} - \frac{\partial W_y}{\partial z} \right) \hat{x} + \left(\frac{\partial W_x}{\partial z} - \frac{\partial W_z}{\partial x} \right) \hat{y} + \left(\frac{\partial W_y}{\partial x} - \frac{\partial W_x}{\partial y} \right) \hat{z}$$

$$= \left[F_x(0, y, z) - \int_0^x \frac{\partial F_y(x', y, z)}{\partial y} dx' - \int_0^x \frac{\partial F_z(x', y, z)}{\partial z} dx' \right] \hat{x} + [0 + F_y(x, y, z)] \hat{y} + [F_z(x, y, z) - 0] \hat{z}$$

But , $\nabla \cdot F = 0$ so the \hat{x} term is

$$\left[F_x \ 0, y, z + \int_0^x \frac{\partial F_x}{\partial x'} x', y, z dx' \right] = F_x \ 0, y, z + F_x \ x, y, z - F_x \ 0, y, z$$

So $\nabla \times W = F$.

$$\nabla \cdot W = \frac{\partial W_x}{\partial x} + \frac{\partial W_y}{\partial y} + \frac{\partial W_z}{\partial z} = 0 + \int_0^x \frac{\partial F_z}{\partial y} x', y, z + \int_0^y \frac{\partial F_x}{\partial z} 0, y', z - \int_0^x \frac{\partial F_y}{\partial z} x', y, z dx' \neq 0$$

$$(c) \quad W_y = \int_0^x x' dx' = \frac{x^2}{2}; W_z = \int_0^y y' dy' - \int_0^y z dx' = \frac{y^2}{2} - zx .$$

$$\boxed{W = \frac{x^2}{2} \hat{y} + \left(\frac{y^2}{2} - zx \right) \hat{z}} . \quad \nabla \times W = \begin{vmatrix} \hat{x} & \hat{y} & \hat{z} \\ \partial/\partial x & \partial/\partial y & \partial/\partial z \\ 0 & x^2/2 & y^2/2 - zx \end{vmatrix} = y\hat{x} + z\hat{y} + x\hat{z} = F$$

Problem 5.31

(a) At the surface of the solenoid , $B_{above} = 0, B_{below} = \mu_0 n I \hat{z} = \mu_0 K \hat{z}; \hat{n} = \hat{s}$; so

$K \times \hat{n} = -K \hat{z}$ Evidently Eq. 5.74 holds.

(b) In oEq. 5.67 , both expressions reduce to $\mu_0 R^2 \omega \sigma / 3 \sin \theta \hat{\phi}$ at the surface , so Eq. 5.75 is satisfied .

$\frac{\partial A}{\partial r} \Big|_{R^+} = \frac{\mu_0 R^4 \omega \sigma}{3} \left(-\frac{2 \sin \theta}{r^3} \right) \hat{\phi} \Big|_R = -\frac{2 \mu_0 R \omega \sigma}{3} \sin \theta \hat{\phi}$; $\frac{\partial A}{\partial r} \Big|_{R^-} = \frac{\mu_0 R \omega \sigma}{3} \sin \theta \hat{\phi}$. So the left side of Eq. 5.76 is $-\mu_0 R \omega \sigma \sin \theta \hat{\phi}$. Meanwhile $K = \sigma v = \sigma \omega \times r = \sigma \omega R \sin \theta \hat{\phi}$, so the right side of Eq. 5.76 is $-\mu_0 \sigma \omega R \sin \theta \hat{\phi}$, and the equation is satisfied .

Problem 5.32

Because $A_{above} = A_{below}$ at every point on the surface , it follows that $\frac{\partial A}{\partial x}$ and $\frac{\partial A}{\partial y}$ are the same above and below , any discontinuity is confined to the norm derivative .

$B_{above} - B_{below} = \left(-\frac{\partial A_{y_{above}}}{\partial z} + \frac{\partial A_{y_{below}}}{\partial z} \right) \hat{x} + \left(\frac{\partial A_{x_{above}}}{\partial z} - \frac{\partial A_{x_{below}}}{\partial z} \right) \hat{y}$. But Eq. 5.74 says this equals $\mu_0 K - \hat{y}$. So $\frac{\partial A_{x_{above}}}{\partial z} - \frac{\partial A_{x_{below}}}{\partial z} = -\mu_0 K$. Thus the normal derivative of the component of A parallel to K suffers a discontinuity $-\mu_0 K$, or , more compactly :

$$\boxed{\frac{\partial A_{above}}{\partial n} - \frac{\partial A_{below}}{\partial n} = -\mu_0 K}$$

Problem 5.33

(Same idea as Prob. 3.33.) Write $m = m \cdot \hat{r} \hat{r} + m \cdot \hat{\theta} \hat{\theta} = m \cos \theta \hat{r} - m \sin \theta \hat{\theta}$ (Fig. 5.54) . Then $3 m \cdot \hat{r} \hat{r} - m = 3 m \cos \theta \hat{r} - m \cos \theta \hat{r} + m \sin \theta \hat{\theta} = 2 m \cos \theta \hat{r} + m \sin \theta \hat{\theta}$, and Eq. 5.87

Problem 5.34

(a) $m = Ia = \boxed{I\pi R^2 \hat{z}}$.

(b) $B \approx \boxed{\frac{\mu_0}{4\pi} \frac{I\pi R^2}{r^3} (2 \cos \theta \hat{r} + \sin \theta \hat{\theta})}$

(c) On the z axis , $\theta = 0, r = z, \hat{r} = \hat{z}$ (for $z > 0$) $B \approx \frac{\mu_0 I R^2}{2z^3} \hat{z}$ (for $z < 0, \theta = \pi, \hat{r} = -\hat{z}$)

, so the field is the same , with $|z|^3$ in place of z^3) . The exact answer (Eq. 5.38) reduces (for $z \ll R$) to $B \approx \mu_0 I R^2 / 2 |z|^3$ so they agree .

Problem 5.35

For a ring , $m = I\pi r^2$ Here $I \rightarrow \sigma \omega dr = \sigma \omega r dr$, so $m = \int_0^R \pi r^2 \sigma \omega r dr = \boxed{\pi \omega \sigma R^4 / 4}$

Problem 5.36

The total charge on the shaded ring is $dq = \sigma \cdot 2\pi R \sin \theta \cdot R d\theta$

The time for one revolution is $dt = 2\pi / \omega$. So the current in the ring

is $I = \frac{dq}{dt} = \sigma \omega R^2 \sin \theta d\theta$. The area of the ring is $\pi R \sin \theta^2$, so the magnetic

moment of the ring is $dm = \sigma\omega R^2 \sin\theta d\theta \pi R^2 \sin^2\theta$, and the total dipole moment of the shell is $m = \sigma\omega R^4 \int_0^\pi \sin^3\theta d\theta = 4/3 \sigma\omega\pi R^4$, or $m = \frac{4\pi}{3} \sigma\omega R^4 \hat{z}$

The dipole term in the multipole expansion for A is there – fore

$A_{dip} = \frac{\mu_0}{4\pi} \frac{4\pi}{3} \sigma\omega R^4 \frac{\sin\theta}{r^2} \hat{\phi} = \frac{\mu_0 \sigma\omega R^4}{3} \frac{\sin\theta}{r^2} \hat{\phi}$, which is also the exact potential (Eq. 5.67) ; evidently a spinning sphere produces a perfect dipole field , with no higher multipole con – tributions .

Problem 5.37

The field of one side is given by Eq. 5.35 , with $s \rightarrow \sqrt{z^2 + w^2/2}$ and

$\sin\theta_2 = -\sin\theta_1 = \frac{w/2}{\sqrt{z^2 + w^2/2}}$; $B = \frac{\mu_0 I}{4\pi} \frac{w}{\sqrt{z^2 + w^2/4} \sqrt{z^2 + w^2/2}}$. To pick off the

vertical component , multiply by $\sin\phi = \frac{w/2}{\sqrt{z^2 + w^2/2}}$; for all four sides , multiply

by 4 : $B = \frac{\mu_0 I}{2\pi} \frac{w^2}{\sqrt{z^2 + w^2/4} \sqrt{z^2 + w^2/2}} \hat{z}$. For $z \gg w, B \approx \frac{\mu_0 I w^2}{2\pi z^3} \hat{z}$. The field of a

dipole $m = Iw^2$, for points on the z axis (Eq. 5.86 , with $r \rightarrow z, \hat{r} \rightarrow \hat{z}, \theta = 0$) is

$$B = \frac{\mu_0}{2m} \frac{m}{z^3} \hat{z}$$

Problem 5.38

The mobile charges do pull in toward the axis , but the resulting concentration of (negative) charge sets up an electric field that repels away further accumulation . Equilibrium is reached when the electric repulsion on a mobile charge q balances the magnetic attraction : $F = q[E + v \times B] = 0 \Rightarrow E = -v \times B$. Say the current is in the z direction : $J = \rho - v\hat{z}$ (where ρ _ and v are both negative)

$$\oint B \cdot dl = B2\pi s = \mu_0 J \pi s^2 \Rightarrow B = \frac{\mu_0 \rho - v s}{2} \hat{\phi}$$

$$\int E \cdot da = E2\pi sl = \frac{1}{\epsilon_0} (\rho_+ + \rho_-) \pi s^2 l \Rightarrow E = \frac{1}{2\epsilon_0} (\rho_+ + \rho_-) s \hat{s}$$

$$\frac{1}{2\epsilon_0} (\rho_+ + \rho_-) s \hat{s} = - \left[v \hat{z} \times \left(\frac{\mu_0 \rho_- - v s}{2} \hat{\phi} \right) \right] = \frac{\mu_0}{2} \rho_- v^2 s \hat{s} \Rightarrow \rho_+ + \rho_- = \rho_- \epsilon_0 \mu_0 v^2 = \rho_- \left(\frac{v^2}{c^2} \right)$$

Evidently $\rho_+ = -\rho_- \left(1 - \frac{v^2}{c^2} \right) = \frac{\rho_-}{\gamma^2}$, or $\rho_- = -\gamma^2 \rho_+$. In this naïve model, the mobile

negative charges fill a smaller inner cylinder, leaving a shell of positive (stationary) charge at the outside. But since $v \ll c$, the effect is extremely small.

Problem 5.39

(a) If positive charges flow to the right, they are deflected down, and the bottom plate acquires a positive charge.

(b) $qvB = qE \Rightarrow E = vB \Rightarrow V = Et = \boxed{vBt}$ with the bottom at higher potential.

(c) If negative charges flow to the left, they are also deflected down, and the bottom plate acquires a negative charge. The potential difference is still the same, but this time the top plate is at the higher potential.

Problem 5.40

From Eq. 5.17, $F = I \int dl \times B$. But B is constant, in this case, so it comes

outside the integral: $F = I \int dl \times B$ and $\int dl = w$, the vector displacement from the point at which the wire first enters the field to the point where it leaves. Since w and B are perpendicular, $F = IBw$ and F is perpendicular to w.

Problem 5.41

The angular momentum acquired by the particle as it moves out from the center to the edge is

$$L = \int \frac{dL}{dt} dt = \int N dt = \int r \times F dt = \int r \times q v \times B dt = q \int r \times dl \times B = q \left[\int r \cdot B dl - \int B \cdot r dl \right]$$

But r is perpendicular to B, so $r \cdot B = 0$, and

$$r \cdot dl = r \cdot dr = \frac{1}{2} d(r \cdot r) = \frac{1}{2} d r^2 = r dr = \int_0^R 2\pi r dr$$

So $L = -\frac{q}{2\pi} \int_0^R B 2\pi r dr = -\frac{q}{2\pi} \int B da$. It follows that $L = -\frac{q}{2\pi} \phi$, where $\phi = \int B da$ is the total flux. In particular, if $\phi = 0$, then $L = 0$, and the charge emerges with zero angular momentum, which means it is going along a radial line. qed

Problem 5.42

From Eq. 5.42, $F = \int K \times B_{ave} da$. Here $K = \sigma v$, $v = \omega R \sin \theta d\theta d\phi$, and

$B_{ave} = \frac{1}{2} B_{in} + B_{out}$. From Eq. 5.68, $B_{in} = \frac{2}{3} \mu_0 \sigma R \omega \hat{z} = \frac{2}{3} \mu_0 \sigma R \omega \cos \theta \hat{r} - \sin \theta \hat{\theta}$. From Eq. 5.67,

$$B_{out} = \nabla \times A = \nabla \times \left(\frac{\mu_0 R^4 \omega \sigma}{3} \frac{\sin \theta}{r^2} \hat{\phi} \right) = \frac{\mu_0 R^4 \omega \sigma}{3} \left[\frac{1}{r \sin \theta} \frac{\partial}{\partial \theta} \left(\frac{\sin^2 \theta}{r^2} \right) \hat{r} - \frac{1}{r} \frac{\partial}{\partial r} \left(\frac{\sin \theta}{r} \right) \hat{\theta} \right],$$

$$= \frac{\mu_0 R^4 \omega \sigma}{3r^3} 2 \cos \theta \hat{r} + \sin \theta \hat{\theta} = \frac{\mu_0 R \omega \sigma}{3} 2 \cos \theta \hat{r} + \sin \theta \hat{\theta} \quad (\text{since } r = R)$$

$$B_{ave} = \frac{\mu_0 R \omega \sigma}{6} 4 \cos \theta \hat{r} - \sin \theta \hat{\theta}$$

$$K \times B_{ave} = \sigma \omega R \sin \theta \left(\frac{\mu_0 R \omega \sigma}{6} \right) \left[\hat{\phi} \times 4 \cos \theta \hat{r} - \sin \theta \hat{\theta} \right] = \frac{\mu_0}{6} \sigma \omega R^2 4 \cos \theta \hat{\theta} + \sin \theta \hat{r} \sin \theta$$

Picking out the z component of (namely,) and of (namely,), we have

$$K \times B_{ave} \cdot \hat{z} = -\frac{\mu_0}{2} \sigma \omega R^2 \sin^2 \theta \cos \theta$$

$$F_z = -\frac{\mu_0}{2} \sigma \omega R^2 R^2 \int \sin^3 \theta \cos \theta d\theta d\phi = -\frac{\mu_0}{2} \sigma \omega R^2 2\pi \left(\frac{\sin^4 \theta}{4} \right) \Big|_0^{\pi/2}, \text{ or}$$

$$\boxed{F = -\frac{\mu_0 \pi}{4} \sigma \omega R^2 \hat{z}}$$

Problem 5.43

(a) $F = ma = q_e v \times B = \frac{\mu_0 q_e q_m}{4\pi r^2} v \times \hat{r}$; $\boxed{a = \frac{\mu_0 q_e q_m}{4\pi m r^3} v \times r}$

(b) Because $a \perp v$, $a \cdot v = \frac{1}{2} \frac{d}{dt} v \cdot v = \frac{1}{2} \frac{d}{dt} v^2 = v \frac{dv}{dt}$. So $\frac{dv}{dt} = 0$. qed

(c)

$$\begin{aligned} \frac{dQ}{dt} &= m \mathbf{v} \times \mathbf{v} + m \mathbf{r} \times \mathbf{a} - \frac{\mu_0 q_e q_m}{4\pi} \frac{d}{dt} \left(\frac{\mathbf{r}}{r} \right) = 0 + \frac{\mu_0 q_e q_m}{4\pi r^3} [\mathbf{r} \times \mathbf{v} \times \mathbf{r}] - \frac{\mu_0 q_e q_m}{4\pi} \left(\frac{\mathbf{v}}{r} - \frac{\mathbf{r}}{r^2} \frac{dr}{dt} \right) \\ &= \frac{\mu_0 q_e q_m}{4\pi} \left\{ \frac{1}{r^3} [r^2 \mathbf{v} - \mathbf{r} \cdot \mathbf{v} \mathbf{r}] - \frac{\mathbf{v}}{r} + \frac{\mathbf{r}}{r^2} \frac{d}{dt} \sqrt{\mathbf{r} \cdot \mathbf{r}} \right\} = \frac{\mu_0 q_e q_m}{4\pi} \left[\frac{\mathbf{v}}{r} - \frac{\hat{\mathbf{r}} \cdot \mathbf{v}}{r} \hat{\mathbf{r}} - \frac{\mathbf{v}}{r} + \frac{\hat{\mathbf{r}}}{2r} \frac{2 \mathbf{r} \cdot \mathbf{v}}{r} \right] = 0 \end{aligned}$$

(d) (i) $Q \cdot \hat{\phi} = Q \hat{\mathbf{z}} \cdot \hat{\phi} = m \mathbf{r} \times \mathbf{v} \cdot \hat{\phi} - \frac{\mu_0 q_e q_m}{4\pi} \hat{\mathbf{r}} \cdot \hat{\phi}$. But $\hat{\mathbf{z}} \cdot \hat{\phi} = \hat{\mathbf{r}} \cdot \hat{\phi} = 0$, so

$\mathbf{r} \times \mathbf{v} \cdot \hat{\phi} = 0$. But $\mathbf{r} = r \hat{\mathbf{r}}$, and $\mathbf{v} = \frac{d\mathbf{l}}{dt} = \dot{r} \hat{\mathbf{r}} + r \dot{\theta} \hat{\theta} + r \sin \theta \dot{\phi} \hat{\phi}$ (where dots denote differentiation with respect to time) , so

$$\mathbf{r} \times \mathbf{v} = \begin{vmatrix} \hat{\mathbf{r}} & \hat{\theta} & \hat{\phi} \\ r & 0 & 0 \\ \dot{r} & r \dot{\theta} & r \sin \theta \dot{\phi} \end{vmatrix} = -r^2 \sin \theta \dot{\phi} \hat{\theta} + r^2 \dot{\theta} \hat{\phi}$$

Therefore $\mathbf{r} \times \mathbf{v} \cdot \hat{\phi} = r^2 \dot{\theta} = 0$, so is constant . qed

(ii) $Q \cdot \hat{\mathbf{r}} = Q \hat{\mathbf{z}} \cdot \hat{\mathbf{r}} = m \mathbf{r} \times \mathbf{v} \cdot \hat{\mathbf{r}} - \frac{\mu_0 q_e q_m}{4\pi} \hat{\mathbf{r}} \cdot \hat{\mathbf{r}}$ But $\hat{\mathbf{z}} \cdot \hat{\mathbf{r}} = \cos \theta$, and

$\mathbf{r} \times \mathbf{v} \perp \mathbf{r} \Rightarrow \mathbf{r} \times \mathbf{v} \cdot \hat{\mathbf{r}} = 0$, so $Q \cos \theta = -\frac{\mu_0 q_e q_m}{4\pi}$, or $Q = -\frac{\mu_0 q_e q_m}{4\pi \cos \theta}$. And since θ constant , so too is Q . qed

(iii) $Q \cdot \hat{\theta} = Q \hat{\mathbf{z}} \cdot \hat{\theta} = m \mathbf{r} \cdot \mathbf{v} \hat{\theta} - \frac{\mu_0 q_e q_m}{4\pi} \hat{\mathbf{r}} \cdot \hat{\theta}$. But $\hat{\mathbf{z}} \cdot \hat{\theta} = -\sin \theta$, $\hat{\mathbf{r}} \cdot \hat{\theta} = 0$, and

$\mathbf{r} \times \mathbf{v} \cdot \hat{\theta} = -r^2 \sin \theta \dot{\phi}$ (from (i)) , so $-Q \sin \theta = -mr^2 \sin \theta \dot{\phi} \Rightarrow \dot{\phi} = \frac{Q}{mr^2} = \frac{k}{r^2}$, with

$$\boxed{k = \frac{Q}{m} = -\frac{\mu_0 q_e q_m}{4\pi \cos \theta}}$$

(e) $v^2 = \dot{r}^2 + r^2 \dot{\theta}^2 + r^2 \sin^2 \theta \dot{\phi}^2$, but $\dot{\theta} = 0$ and $\dot{\phi} = \frac{k}{r^2}$, so

$$\dot{r}^2 = v^2 - r^2 \sin^2 \theta \frac{k^2}{r^4} = v^2 - \frac{k^2 \sin^2 \theta}{r^2}$$

$$\left(\frac{dr}{d\phi}\right)^2 = \frac{\dot{r}^2}{\dot{\phi}^2} = \frac{v^2 - k \sin \theta / r^2}{k^2 / r^4} = r^2 \left[\left(\frac{vr}{k}\right)^2 - \sin^2 \theta \right]; \frac{dr}{d\phi} = r \sqrt{\left(\frac{vr}{k}\right)^2 - \sin^2 \theta}$$

(f), $\int \frac{dr}{r \sqrt{vr/k^2 - \sin^2 \theta}} = \int d\phi \Rightarrow \phi - \phi_0 = \frac{1}{\sin \theta} \sec^{-1} \left[\frac{vr}{k \sin \theta} \right]$

or $r \phi = \frac{A}{\cos \left[\phi - \phi_0 \sin \theta \right]}$ where $A = -\frac{\mu_0 q_e q_m \tan \theta}{4\pi m v}$

Problem 5.44

Put the field point on the x axis, so . Then . The x and y components integrate to zero (z integrand is odd, as in Prob . 5.17).

Inside the solenoid, . Outside the solenoid, $s > R$, so

Here, so (inside), and 0 (outside) (as we found more easily using Ampere's law, in Ex. 5.9).

Problem 5.45

Let the source point be , and the field point be ; then and

Problem 5.46

(a) From Eq. 5.38 ,

(b) Differentiating again :

. Zero if , in which case

Problem 5.47

(a) The total charge on the shaded ring is . The time for one revolution is . So the current in the ring is . From Eq. 5.38 , the magnetic field of this ring (for point on the axis) is , and the total field of the disk is

(b) Slice the sphere into slabs of thickness t , and use (a) . Here

. First rewrite the term in square brackets :

But . So . But

Problem 5.48

$B = \frac{\mu_0 I}{4\pi} \int \frac{dl' \times r}{r^2}$. $r = -R \cos \phi \hat{x} + y \hat{y} - R \sin \phi \hat{z}$ (For simplicity I'll drop the prime on ϕ) $r^2 = R^2 \cos^2 \phi + y^2 - 2Ry \sin \phi + R^2 \sin^2 \phi + z^2 = R^2 + y^2 + z^2 - 2Ry \sin \phi$. The source coordinates (x' , y' , z') satisfy

$x' = R \cos \phi \Rightarrow dx' = -R \sin \phi d\phi; y' = R \sin \phi \Rightarrow dy' = R \cos \phi d\phi; z' = 0 \Rightarrow dz' = 0$. So
 $dl' \times r = -R \sin \phi d\phi \hat{x} + R \cos \phi d\phi \hat{y}$

$$dl' \times r = \begin{vmatrix} \hat{x} & \hat{y} & \hat{z} \\ -R \sin \phi d\phi & R \cos \phi d\phi & 0 \\ -R \cos \phi & y - R \sin \phi & z \end{vmatrix} = Rz \cos \phi d\phi \hat{x} + Rz \sin \phi d\phi \hat{y} + -Ry \sin \phi d\phi + R^2 d\phi \hat{z}$$

$$B_z = \frac{\mu_0 IRz}{4\pi} \int_0^{2\pi} \frac{\cos \phi d\phi}{R^2 + y^2 + z^2 - 2Ry \sin \phi}^{3/2} = \frac{\mu_0 IR}{4\pi} \frac{1}{Ry} \frac{1}{\sqrt{R^2 + y^2 + z^2 - 2Ry \sin \phi}} \Big|_0^{2\pi} = 0$$

Since $\phi = 0$ at both limits . The y and z components are elliptic integrals , and cannot be expressed in terms of elementary functions .

$$B_z = 0; B_y = \frac{\mu_0 IRz}{4\pi} \int_0^{2\pi} \frac{\sin \phi d\phi}{R^2 + y^2 + z^2 - 2Ry \sin \phi}^{3/2}; B_x = \frac{\mu_0 IR}{4\pi} \int_0^{2\pi} \frac{R - y \sin \phi d\phi}{R^2 + y^2 + z^2 - 2Ry \sin \phi}^{3/2}$$

Problem 5.49

From the Biot-Savart law , the field of loop # 1 is $B = \frac{\mu_0 I_1}{4\pi} \oint_1 \frac{dl_1 \times \hat{r}}{r^2}$; the force on

loop # 2 is $F = I_2 \oint_2 dl_2 \times B = \frac{\mu_0}{4\pi} I_1 I_2 \oint_1 \oint_2 \frac{dl_2 \times dl_1 \times \hat{r}}{r^2}$

. Now $dl_2 \times dl_1 \times \hat{r} = dl_1 dl_2 \cdot \hat{r} - \hat{r} dl_1 \cdot dl_2$, so

$$F = -\frac{\mu_0}{4\pi} I_1 I_2 \left\{ \oint \oint \frac{\hat{r}}{r^2} \cdot dL_1 \cdot dL_2 - \oint dL_1 \oint \frac{dL_2 \cdot \hat{r}}{r^2} \right\}$$

The first term is what we want. It remains to show that the second term is zero:

$$\begin{aligned}
r &= \sqrt{x_2^2 - x_1^2 + y_2^2 - y_1^2 + z_2^2 - z_1^2}, \text{ so} \\
\nabla_2 (1/r) &= \frac{\partial}{\partial x_2} \left[\sqrt{x_2^2 - x_1^2 + y_2^2 - y_1^2 + z_2^2 - z_1^2} \right]^{1/2} \hat{x} + \frac{\partial}{\partial y_2} \left[\sqrt{x_2^2 - x_1^2 + y_2^2 - y_1^2 + z_2^2 - z_1^2} \right]^{1/2} \hat{y} + \\
&\frac{\partial}{\partial z_2} \left[\sqrt{x_2^2 - x_1^2 + y_2^2 - y_1^2 + z_2^2 - z_1^2} \right]^{1/2} \hat{z} \\
&= -\frac{x_2 - x_1}{r^3} \hat{x} - \frac{y_2 - y_1}{r^3} \hat{y} - \frac{z_2 - z_1}{r^3} \hat{z} \\
&= -\frac{\mathbf{r}}{r^3} = -\frac{\hat{\mathbf{r}}}{r^2} \\
\text{So } \oint \frac{\hat{\mathbf{r}}}{r^2} dL_2 &= 0 \text{ (by corollary 2 in sect. 1.3.3). qed}
\end{aligned}$$

Problem 5.50

Poisson's equation (Eq. 2.24) says $\nabla^2 V = -\frac{1}{\epsilon_0} \rho$. For dielectrics (with no free charge), $\rho_b = -\nabla \cdot \mathbf{P}$ (Eq. 4.12), and the resulting potential is $V(\mathbf{r}) = \frac{1}{4\pi\epsilon_0} \int \frac{\mathbf{P}(\mathbf{r}') \cdot \hat{\mathbf{r}}}{r^2} dt'$. In general, $\rho = \epsilon_0 \nabla \cdot \mathbf{E}$ (Gauss's law), so the analogy is $\mathbf{P} \rightarrow -\epsilon_0 \mathbf{E}$, and hence $V(\mathbf{r}) = -\frac{1}{4\pi} \int \frac{\mathbf{E}(\mathbf{r}') \cdot \hat{\mathbf{r}}}{r^2} dt'$.
qed

[there are many other ways to obtain this result. For example, using Eq. 1.100:

$$\nabla \cdot \left(\frac{\hat{\mathbf{r}}}{r^2} \right) = -\nabla' \cdot \left(\frac{\hat{\mathbf{r}}}{r^2} \right) = 4\pi \delta^3(\mathbf{r} - \mathbf{r}')$$

$$V(\mathbf{r}) = \int V(\mathbf{r}') \delta^3(\mathbf{r} - \mathbf{r}') dt' = -\frac{1}{4\pi} \int V(\mathbf{r}') \nabla' \cdot \left(\frac{\hat{\mathbf{r}}}{r^2} \right) dt' = \frac{1}{4\pi} \int \frac{\hat{\mathbf{r}}}{r^2} \cdot \nabla' V(\mathbf{r}') dt' - \frac{1}{4\pi} \oint V(\mathbf{r}') \frac{\hat{\mathbf{r}}}{r^2} \cdot d\mathbf{a}'$$

(Eq. 1.59). but $\nabla' V(\mathbf{r}') = -\mathbf{E}(\mathbf{r}')$, and the surface integral $\rightarrow 0$ at ∞ , so

$V(\mathbf{r}) = -\frac{1}{4\pi} \int \frac{\mathbf{E}(\mathbf{r}') \cdot \hat{\mathbf{r}}}{r^2} dt'$, as before. You can also check the result, by computing its gradient – but it's not easy.]

Problem 5.51

(a) For uniform B , $\int_0^r \mathbf{B} \times d\mathbf{l} = B \times \int_0^r d\mathbf{l} = B \times r \neq A = -\frac{1}{2} \mathbf{e}_z \times \mathbf{r}^2$

(b) $B = \frac{\mu_0 I}{2\pi s} \hat{\phi}$, so

$$\oint \mathbf{B} \times d\mathbf{l} = \left(\frac{\mu_0 I}{2\pi a} \hat{s} - \frac{\mu_0 I}{2\pi b} \hat{s} \right) \omega = \frac{\mu_0 I \omega}{2\pi} \left(\frac{1}{a} - \frac{1}{b} \right) \hat{s} \neq 0$$

(c) $A = -r \times B \int_0^1 \lambda d\lambda = -\frac{1}{2} \mathbf{e}_z \times B r^2$

(d) $B = \frac{\mu_0 I}{2\pi s} \hat{\phi}$; $B \times \mathbf{r} = \frac{\mu_0 I}{2\pi \lambda s} \hat{\phi} \times \mathbf{r}$; $A = -\frac{\mu_0 I}{2\pi s} \int_0^1 \lambda \frac{1}{\lambda} d\lambda = -\frac{\mu_0 I}{2\pi s} \mathbf{e}_z \times \hat{\phi}$

. But r here is the vector from the origin—in cylindrical coordinates $r = s\hat{s} + z\hat{z}$. So

$$A = -\frac{\mu_0 I}{2\pi s} \left[\mathbf{e}_z \times \hat{\phi} + z \mathbf{e}_z \times \hat{\phi} \right], \text{ and } \mathbf{e}_z \times \hat{\phi} = \hat{z}, \mathbf{e}_z \times \hat{\phi} = -\hat{s}. \text{ So } A = \frac{\mu_0 I}{2\pi s} (\hat{s} - s\hat{z}).$$

The examples in (c) and (d) happen to be divergenceless, but this is not the case in

general. For (letting $L \equiv \int_0^1 \lambda B \times \mathbf{r} d\lambda$, for short)

$$\nabla \cdot A = -\nabla \cdot (\mathbf{e}_z \times L) = -[\mathbf{e}_z \times \mathbf{r}] \cdot \nabla \times L = \mathbf{r} \cdot \nabla \times L, \text{ and}$$

$$\nabla \times L = \int_0^1 \lambda \nabla \times (B \times \mathbf{r}) d\lambda = \int_0^1 \lambda^2 \nabla_\lambda \times B \times \mathbf{r} d\lambda = \mu_0 \int_0^1 \lambda^2 J \times \mathbf{r} d\lambda, \text{ so}$$

$$\nabla \cdot A = \mu_0 \mathbf{r} \cdot \int_0^1 \lambda^2 J \times \mathbf{r} d\lambda, \text{ and it vanishes in regions where } J = 0 \text{ (which is where the}$$

examples in (c) and (d) were divergenceless). To construct an explicit counterexample, we need the field at a point where $J \neq 0$ —say, inside a wire with uniform current. 105

Here ampère's law gives $B2\pi s = \mu_0 I_{enc} = \mu_0 I \pi s^2 \Rightarrow B = \frac{\mu_0 J}{2} s \hat{\phi}$, so

$$A = -r \times \int_0^1 \lambda \left(\frac{\mu_0 J}{2} \right) \lambda s \hat{\phi} d\lambda = -\frac{\mu_0 I}{6} s \left(\times \hat{\phi} \right) = \frac{\mu_0 J s}{6} \left(\hat{s} - s \hat{z} \right)$$

$$\nabla \cdot A = \frac{\mu_0 J}{6} \left[\frac{1}{s} \frac{\partial}{\partial s} (s^2) + \frac{\partial}{\partial z} (s^2) \right] = \frac{\mu_0 J}{6} \left(\frac{1}{s} 2sz \right) = \frac{\mu_0 J z}{3} \neq 0$$

Conclusion: (ii) does not automatically yield $\nabla \cdot A = 0$.

Problem 5.52

Exploit the analogy with the electrical case :

$$E = \frac{1}{4\pi\epsilon_0} \frac{1}{r^3} \left[\mathbf{P} \cdot \hat{r} \hat{r} - P \right] \quad (\text{eq. 3.104}) = -\nabla V, \quad \text{with } V = \frac{1}{4\pi\epsilon_0} \frac{P \cdot \hat{r}}{r^2} \quad (\text{eq. 3.102}).$$

$$\mathbf{B} = \frac{\mu_0}{4\pi} \frac{1}{r^3} \left[\mathbf{m} \cdot \hat{r} \hat{r} - m \right] \quad (\text{eq. 5.5.87}) = -\nabla U, \quad (\text{eq. 5.56}).$$

Evidently the prescription is $P/\epsilon_0 \rightarrow \mu_0 m : U = \frac{\mu_0}{4\pi} \frac{m \cdot \hat{r}}{r^2}$.

(b) comparing Eqs .5.67 and 5.85 . the dipole moment of the shell is $m = \left(\pi/3 \right) \omega \sigma R^4 \hat{z}$ (which we also got in prob .5.36). using the result of (a) , then

$$U = \frac{\mu_0 \omega \sigma R^4}{3} \frac{\cos\theta}{r^2} \quad \text{for } r > R.$$

Inside the shell, the field is uniform (eq.5.38): $B = \frac{2}{3} \mu_0 \sigma \omega R \hat{z}$, so

156

$U \llcorner \rceil = \frac{2}{3} \mu_0 \sigma \omega R z + \text{constant}$. we may as well pick the constant to be zero , so

$U \llcorner \rceil = -\frac{2}{3} \mu_0 \sigma \omega R r \cos \theta$ for $r < R$.

[notice that $U(r)$ is not continuous at the surface ($r = R$) : $U_{in}(R) = -\frac{2}{3} \mu_0 \sigma \omega R^2$

$\cos \theta \neq U_{out}(R) = \frac{1}{3} \mu_0 \sigma \omega R^2 \cos \theta$. As I warned you on p.236 : if you insist on using magnetic scalar potentials , keep away from places where there is current !]

(c)

$$B = \frac{\mu_0 \omega Q}{4\pi R} \left[\left(1 - \frac{3r^2}{5R^2}\right) \cos \theta \hat{r} - \left(1 - \frac{6r^2}{5R^2}\right) \sin \theta \hat{\phi} \right] = -\nabla U = -\frac{\partial U}{\partial r} \hat{r} - \frac{1}{r} \frac{\partial U}{\partial \theta} \hat{\theta} - \frac{1}{r \sin \theta} \frac{\partial U}{\partial \phi} \hat{\phi}.$$

$$\frac{\partial U}{\partial \phi} = 0 \Rightarrow U \llcorner \rceil, \theta, \phi \rceil = U \llcorner \rceil, \theta \rceil$$

$$\frac{1}{r} \frac{\partial U}{\partial \theta} = \left(\frac{\mu_0 \omega Q}{4\pi R} \right) \left(1 - \frac{6r^2}{5R^2}\right) \sin \theta \Rightarrow U \llcorner \rceil, \theta \rceil = -\left(\frac{\mu_0 \omega Q}{4\pi R} \right) \left(1 - \frac{6r^2}{5R^2}\right) r \cos \theta + f(r).$$

$$\frac{\partial U}{\partial r} = -\left(\frac{\mu_0 \omega Q}{4\pi R} \right) \left(1 - \frac{3r^2}{5R^2}\right) \cos \theta \Rightarrow U \llcorner \rceil, \theta \rceil = -\left(\frac{\mu_0 \omega Q}{4\pi R} \right) \left(r - \frac{r^3}{5R^2} \right) \cos \theta + g \llcorner \rceil$$

Equating the two expressions :

$$-\left(\frac{\mu_0 \omega Q}{4\pi R} \right) \left(1 - \frac{6r^2}{5R^2}\right) r \cos \theta + f \llcorner \rceil = -\left(\frac{\mu_0 \omega Q}{4\pi R} \right) \left(1 - \frac{r^2}{5R^2}\right) r \cos \theta + g \llcorner \rceil$$

$$\left(\frac{\mu_0 \omega Q}{4\pi R^3}\right) r^3 \cos\theta + f(\theta) = g(r)$$

$$r^3 \cos\theta \quad \theta$$

But there is no way to write $r^3 \cos\theta$ as the sum of a function of θ and a function of r , so we're stuck. The reason is that you can't have a scalar magnetic potential in a region where the current is nonzero.

Problem 5.53

(a) $\nabla \cdot B = 0, \quad \nabla \times B = \mu_0 J, \text{ and } \nabla \cdot A = 0,$

$$\nabla \times A = B \Rightarrow A = \frac{\mu_0}{4\pi} \int \frac{J}{r} dt', \text{ so } \nabla \cdot A = 0, \nabla \times A = B, \text{ and } \nabla \cdot W = 0 \text{ (We'll choose it$$

$$\text{so), } \nabla \cdot W = A \Rightarrow W = \frac{1}{4\pi} \int \frac{B}{r} dt'.$$

(b) W will be proportional to B and to two factors of r (since differentiating twice must recover B), so I'll try something of the form $w = \alpha r \nabla \cdot B + \beta r^2 B$, and see if I can pick the constants α and β in such a way that $\nabla \cdot W = 0$ and $\nabla \times W = A$.

$$\nabla \cdot W = \alpha \nabla \cdot (B \nabla r) + \beta \nabla \cdot (r^2 B)$$

$$\cdot \nabla r = \frac{\partial x}{\partial x} + \frac{\partial y}{\partial y} + \frac{\partial z}{\partial z} = 1+1+1=3; \nabla \cdot (B \nabla r) = r \times (\nabla \times B) + B \times (\nabla \times r) + (\nabla \cdot B) + (\nabla \cdot r);$$

but B is constant, so all derivatives of B vanish, and $\nabla \times r = 0$ (Prob. 1.62), so

$$\nabla \cdot (B \nabla r) = (\nabla \cdot r) = \left(B_x \frac{\partial}{\partial x} + B_y \frac{\partial}{\partial y} + B_z \frac{\partial}{\partial z} \right) (\hat{x} + \hat{y} + \hat{z}) = B_x \hat{x} + B_y \hat{y} + B_z \hat{z} = B;$$

$$\nabla \cdot (r^2 B) = \left(\hat{x} \frac{\partial}{\partial x} + \hat{y} \frac{\partial}{\partial y} + \hat{z} \frac{\partial}{\partial z} \right) (r^2 + y^2 + z^2) = 2x\hat{x} + 2y\hat{y} + 2z\hat{z} = 2r.$$

So

$$\nabla \cdot W = \alpha \left[\nabla \cdot (\mathbf{e}_z \times \mathbf{r}) + \nabla \cdot (\mathbf{e}_z \times \mathbf{r}) + \beta \right] + 2 \nabla \cdot (\mathbf{e}_z \times \mathbf{r}) = 2 \nabla \cdot (\mathbf{e}_z \times \mathbf{r}) (\alpha + \beta), \text{ which is zero if } 2\alpha + \beta = 0$$

$$\begin{aligned} \nabla \times W &= \alpha \left[\nabla \times (\mathbf{e}_z \times \mathbf{r}) - \mathbf{r} \times \nabla (\mathbf{e}_z \cdot \mathbf{r}) + \beta \left[\nabla \times (\mathbf{e}_z \times \mathbf{r}) - \mathbf{r} \times \nabla (\mathbf{e}_z \cdot \mathbf{r}) \right] \right] + \alpha \left[\nabla \times (\mathbf{e}_z \times \mathbf{r}) + \beta \right] - 2 \mathbf{e}_z \times \mathbf{r} \\ &= -\mathbf{e}_z \times \mathbf{r} (\alpha - 2\beta) = -\frac{1}{2} \mathbf{e}_z \times \mathbf{r} \end{aligned}$$

(Prob. 5.24) So we want $\alpha - 2\beta = 1/2$. Evidently $\alpha - 2(-2\alpha) = 5\alpha = 1/2$, or $\alpha = 1/10$; $0 - 2\alpha = -1/5$.
Conclusion: (But this is certainly not unique.)

(c) $\nabla \times W = A / (\nabla \times W) \cdot d\mathbf{a} = f A \cdot d\mathbf{a}$. Or $\int W \cdot d\mathbf{l} = \int f A \cdot d\mathbf{a}$. Integrate around the amperian loop shown, taking W to point parallel to the axis, and choosing $W = 0$ on the axis:

(using Eq. 5.70 for A).

$$I(s < R)$$

$$W = [1 + 21n(5/i!)] z$$

Problem 5.54

Apply the divergence theorem to the function $[\mathbf{U} \times (\mathbf{V} \times \mathbf{V})]$, noting (from the product rule) that $\mathbf{V} \cdot [\mathbf{U} \times (\mathbf{V} \times \mathbf{V})] = (\mathbf{V} \times \mathbf{V}) \cdot (\mathbf{V} \times \mathbf{U}) - \mathbf{U} \cdot [\mathbf{V} \times (\mathbf{V} \times \mathbf{V})]$:

$$\int_V [\mathbf{U} \times (\mathbf{V} \times \mathbf{V})] d\mathbf{r} = \int_V \{(\mathbf{V} \times \mathbf{V}) \cdot (\mathbf{V} \times \mathbf{U}) - \mathbf{U} \cdot [\mathbf{V} \times (\mathbf{V} \times \mathbf{V})]\} d\mathbf{r} = \oint_S [\mathbf{U} \times (\mathbf{V} \times \mathbf{V})] \cdot d\mathbf{a}.$$

As always, suppose we have *two* solutions, \mathbf{B}^* (and \mathbf{A}_i) and \mathbf{B}_3 (and \mathbf{A}_2). Define $\mathbf{B}_3 = \mathbf{B}_2 - \mathbf{B}_j$ (and $\mathbf{A}_3 = \mathbf{A}_2 - \mathbf{A}_i$), so that $\mathbf{V} \times \mathbf{A}_3 = \mathbf{B}_3$ and $\mathbf{V} \times \mathbf{B}_3 = \mathbf{V} \times \mathbf{B}_j - \mathbf{V} \times \mathbf{B}_2 = \mu_0 \mathbf{J} - \mu_0 \mathbf{J} = 0$. Set $\mathbf{U} = \mathbf{V} = \mathbf{A}_3$ in the above identity:

$$\int_V \{(\mathbf{V} \times \mathbf{A}_3) \cdot (\mathbf{V} \times \mathbf{A}_3) - \mathbf{A}_3 \cdot [\mathbf{V} \times (\mathbf{V} \times \mathbf{A}_3)]\} d\mathbf{r} = \int_V \{(\mathbf{B}_3) \cdot (\mathbf{B}_3) - \mathbf{A}_3 \cdot (\mathbf{V} \times \mathbf{B}_3)\} d\mathbf{r} = \int_V B_3^2 d\mathbf{r}$$

$= \int_S [(\mathbf{A}_3 \times (\mathbf{V} \times \mathbf{A}_3)) \cdot d\mathbf{a}] = \int_S (\mathbf{B}_3) \cdot d\mathbf{a}$. But either \mathbf{A} is specified (in which case $\mathbf{A}_3 = 0$), or else \mathbf{B} is

specified (in which case $\mathbf{B}_3 = 0$), at the surface. In either case $\int_S (\mathbf{A}_3 \times \mathbf{B}_3) \cdot d\mathbf{a} = 0$. So $\int_V B_3^2 d\mathbf{r} = 0$, and hence $\mathbf{B}_3 = 0$. qed

Problem 5.55

From Eq. 5.86, $B_{\text{tot}} = \frac{\mu_0 I}{4\pi r^2} (2\cos\theta + \sin\theta)$. There-

fore $B_{\text{tot}} = \frac{\mu_0 I}{4\pi r^2} (2\cos\theta + \sin\theta)$.

This is zero, for all θ , when $r = R$, given by Eq.

Evidently no field lines cross this sphere.

Problem 5.56

(a) $J = -\nabla \cdot \mathbf{a} = \frac{1}{r} \frac{\partial}{\partial r} (r^2 H^2)$; $m = \frac{1}{\mu_0} \frac{\partial}{\partial z} (L - \mu_0 R^2 z) = \frac{1}{\mu_0} \frac{\partial}{\partial z} (L - \mu_0 R^2 z)$. $L = \mu_0 R^2 z$. $(2\pi r/w) \int_0^z L dz = 2\pi r \int_0^z L dz$

108

$\frac{\mu_0 I}{2\pi R} \int_0^z L dz$

, or

$R = \frac{1}{\mu_0} \frac{\partial}{\partial z} (L - \mu_0 R^2 z)$

$n = \frac{Q}{wR} \frac{Q}{L} \frac{L}{2M} \frac{L}{2M}$

— **I & H.**

and the gyromagnetic ratio is

$g = \frac{1}{2M}$

(b) Because g is independent of R , the same ratio applies to all "donuts", and hence to the entire sphere (or any other figure of revolution):

$g = \frac{1}{2M}$

$y = \frac{eh}{2M} = \frac{(1.60 \times 10^{-19})(1.05 \times 10^{-34})}{2(9.11 \times 10^{-31})}$

$\frac{Q}{2M}$

$\frac{Q}{2M}$

$4.61 \times 10^{-24} \text{ A m}^2$.

$J(\mathbf{V} \times \mathbf{A})$

/H

4) r'^a 4) r

(4HS) $J \wedge X \int j^?$ * $\epsilon^* r^i$ Note t^* at J depends on the

source point r' , not on the field point r . To do the surface integral, choose the (x, y, z) coordinates so that r' lies on the z axis (see diagram). Then $r = y/R^2 + (z')^2 - 2Rz' \cos \theta$, while $da = R^2 \sin \theta d\theta d\phi$. By symmetry, the x and y components must integrate to zero; since the z component of t is $\cos \theta$, we have

Problem 5.57 (a) $B_{ave} =$

$$\frac{1}{4\pi R^2} \int \frac{J_0 y / J_p + (z' y - 2Rz' \cos \theta)}{r^3} d\Omega$$

161

Ustu

$$2[2(rt^2 + (z')^2) + 2i2z'd] \frac{1}{(2R)^3} \frac{1}{V/P + W \cdot W \cdot J}$$

$$= \frac{1}{4\pi R^2} \int \frac{[iZ^2 + Hz^*] \sqrt{H^2 + (z')^2} - 2tz' - t^2/2 + H^2}{[H^2 + (z')^2 + Rz' \cos \theta] \sqrt{H^2 + (z')^2}} d\Omega$$

$$4\pi R^3 \quad R^2, \dots m$$

\int

dm

$d\Omega$.

For now we want $r' < R$, so $B_{ave} = \frac{J_0 \int \cos \theta d\Omega}{4\pi R^2} = \frac{J_0}{4\pi R^2} \int \cos \theta d\Omega$. Now $m = \int J(r) d\tau$

(Eq. 5.91), so $B_{ave} =$ $\frac{1}{4\pi R^2} \int \cos \theta d\Omega$

(b) This time $r > R$, so $B_w = \frac{M \cdot r}{r^3} = \frac{M \cdot r}{r^3} = \frac{M \cdot r}{r^3}$ where $M = \int r' J d\tau$

(a) Problem 5.51 gives the dipole moment of a shell: $m = \int r' J d\tau$. Let $R = r, a p d r$, and integrate: $4\pi r^2 J a \int \cos \theta d\theta$

$\frac{1}{k} \int \dots 2m$

$$P_0 \frac{QvR^2 \sin \theta}{4\pi 5 r^2}$$

(d) Use Eq. 5.07, with $R = r, c r p d f$, and integrate: $\int \frac{1}{r^2} \sin \theta d\theta d\phi$

This is identical to (c); evidently the field is pure dipole, for points outside the sphere.

(e) According to Prob. 5.29, the field is $B = \frac{1}{4\pi R^3} \int \cos \theta d\Omega$. The average

from the source point to the center ($\Rightarrow \sim r'$). Thus $B_{ave} = \frac{B_{cen}}{m} = \frac{Qv}{4\pi R^2} \frac{1}{5}$

$$\frac{1}{4\pi R^3} \int \cos \theta d\Omega$$

$4\pi r$

$$\frac{1}{4\pi R^3} \int \cos \theta d\Omega$$

$B dr$

$$dr = x da$$

obviously points in the \hat{z} direction, so take the z component of \hat{r} ($\cos\theta$) and $\int (-\sin\theta)$:
 CHAPTER 5. MAGNETOSTATICS

$$B_m = \frac{\mu_0}{4\pi} \int \frac{J \sin\theta}{r^2} d\tau = \frac{\mu_0}{4\pi} \int \frac{J \sin\theta}{r^2} d\tau$$

$$= \frac{\mu_0}{4\pi} \int \frac{J \sin\theta}{r^2} d\tau = \frac{\mu_0}{4\pi} \int \frac{J \sin\theta}{r^2} d\tau$$

163

Problem 5.59

Problem 5.59

The issue (and the integral) is identical to the one in Prob. 3.42. The resolution (as before) is to regard Eq. 5.87 as correct outside an infinitesimal sphere centered at the dipole. *Inside* this sphere the field is a delta-function, $A\delta^3(r)$, with A selected so as to make the average field consistent with Prob. 5.57:

$$\frac{3}{4\pi} \int \frac{M \cdot \hat{r}}{r^3} d\tau = \frac{2\pi M \cos\theta}{3} \int_0^\infty r^{-3} dr$$

The added term is
 $B_{\text{ave}} =$
 Problem 5.60

(a) $\int_{n=0}^{\infty} IdX - \sum Jdr$, so

$\frac{3}{4\pi} \frac{d\mathbf{r}}{dt} = \frac{4\pi}{3} \frac{d\mathbf{r}}{dt}$ (Prob. 5.7), where p is the total electric dipole moment. In magnetostatics, p is constant, so $dp/dt = 0$, and hence $A_{\text{mon}} = 0$. qed (c) $m = \int I \mathbf{r} \times d\mathbf{l}$ - $\int m = \int (\mathbf{r} \times \mathbf{J}) d\mathbf{r}$. qed

Problem 5.61

For a dipole at the origin and a field point in the xz plane ($\phi = 0$), we have

$$\mathbf{B} = \frac{\mu_0}{4\pi} (2\cos\theta \hat{r} + \sin\theta \hat{\phi}) = \frac{\mu_0}{4\pi} (\cos\theta(\sin\theta \hat{x} + \cos\theta \hat{z}) + \sin\theta(\cos\theta \hat{x} - \sin\theta \hat{z}))$$

$$\hat{z} [3\sin\theta \cos\theta x + (2\cos^2\theta - \sin^2\theta)z]$$

$B =$

Here we have a *stack* of such dipoles, running from $z = -L/2$ to $z = +L/2$. Put the field point at s on the x axis. The x components cancel (because of symmetrically placed dipoles above and below $z = 0$), leaving $B =$

$B =$

$\frac{dz}{dy}$ where M is the dipole moment per unit length: $m = \int I r R^2 - (\langle r v \rangle) R^2 = \mu_0 I R n R^2 h \Rightarrow$

$$\frac{\sin\theta}{R} m \sim \mu_0 I R n R^2 h$$

$$-s \cot\theta dz =$$

$$\sin\theta \int_{-L/2}^{L/2} (3\cos^2\theta - 1) dz =$$

$i.$

$$2Mz$$

1

Now $\sin\theta = -r$
 dO . Therefore

111

$$\sin^3\theta = 5$$

$$HocauB? A / **$$

Mo

2 7T

$$/ (3 \cos^2 \theta - 1) J \omega n$$

B

$$= 2 I (3 \cos^2 \theta - 1) \sin \theta d\theta$$

s^4 sin 0

$$\int_0^{\pi/2} \sin^4 \theta (3 \cos^2 \theta - 1) \sin \theta d\theta$$

mO

I If

, and cos 0,

+ PPr

$$\cos \theta_m (1 - \cos \theta_m) z \text{ as}$$

2*2

$$f l Q < 7 L > R^3 L$$

B

$$4[s^2 + (L/2)^2]^{3/2}$$

$$\cos \theta_m \sin \theta_m z.$$

$$2s^2 (1/2)$$

/2

But sin

z.

=, so

$$y \sqrt{1 + (L/2)^2}$$

| Chapter 6

J Magnetostatic Fields in Matter

Problem 6.1

$$\mathbf{N} = m_j \times \mathbf{B}_j; \mathbf{B}_i = [3(\mathbf{m}_i \cdot \mathbf{r})\mathbf{r} - m_i]; \mathbf{r} = y\mathbf{j}; \mathbf{m}_1 = m\mathbf{i}; \mathbf{m}_2 = m_2 y\mathbf{j}. \mathbf{B}_i =$$

$$= -\hat{x}. \text{ Here } m_1 = \text{Tra}^2, m_2 = 9I. \text{ So}$$

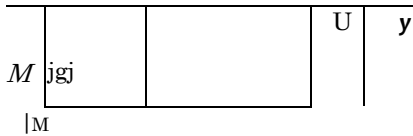
Final orientation

downward] (—8).

Problem 6.2

$\mathbf{r} \times \mathbf{f} = \int d\mathbf{l} \times \mathbf{B}$; $d\mathbf{N} = \mathbf{r} \times d\mathbf{F} = \int \mathbf{r} \times (d\mathbf{l} \times \mathbf{B})$. Now (Prob. 1.6): $\mathbf{r} \times ((\mathbf{f} \times \mathbf{B}) + d\mathbf{l} \times (\mathbf{B} \times \mathbf{r}) + \mathbf{B} \times (\mathbf{r} \times d\mathbf{l})) = 0$. But $d[\mathbf{r} \times (\mathbf{r} \times \mathbf{B})] = d\mathbf{r} \times (\mathbf{r} \times \mathbf{B}) + \mathbf{r} \times (d\mathbf{r} \times \mathbf{B})$ (since \mathbf{B} is constant), and $d\mathbf{r} = d\mathbf{l}$, so $d[\mathbf{r} \times (\mathbf{r} \times \mathbf{B})] = \mathbf{r} \times (d\mathbf{l} \times \mathbf{B}) + d[\mathbf{r} \times (\mathbf{r} \times \mathbf{B})]$. Hence $2\mathbf{r} \times (\mathbf{f} \times \mathbf{B}) = d[\mathbf{r} \times (\mathbf{r} \times \mathbf{B})] - \mathbf{B} \times (\mathbf{r} \times d\mathbf{l})$. $dN = \int \{d[\mathbf{r} \times (\mathbf{r} \times \mathbf{B})] - \mathbf{B} \times (\mathbf{r} \times d\mathbf{l})\}$. $\mathbf{N} = \int \{d[\mathbf{r} \times (\mathbf{r} \times \mathbf{B})] - \mathbf{B} \times (\mathbf{r} \times d\mathbf{l})\}$. But the first term is zero ($\mathbf{f} \cdot d(\cdot \cdot) = 0$), and the second integral is $2\mathbf{a}$ (Eq. 1.107). So $\mathbf{N} = -(\mathbf{B} \times \mathbf{a}) = \mathbf{m} \times \mathbf{B}$. qed

According to Eq. 6.2, $F = 2-kIRB \cos \theta$. But $\mathbf{B} = B \cos \theta \mathbf{j} + B \sin \theta \mathbf{i}$, so $B \cos \theta = \mathbf{p} \cdot \mathbf{ps} [3(111! - \mathbf{r})(\mathbf{r} \cdot \mathbf{y}) - (\mathbf{m}_i \cdot \mathbf{y})]$. But $m_3 \cdot \mathbf{y} = 0$ and $\mathbf{f} \cdot \mathbf{y} = \sin \theta$, while $\mathbf{m}_i \cdot \mathbf{f} = m \cos \theta$. $B \cos \theta = \frac{3m \sin \theta \cos \theta}{\sin \theta}$



Problem 6.8

$$\mathbf{V} \times \mathbf{M} = \mathbf{J}_{fc} = ks^2 \mathbf{i} = i(3fca^2) \mathbf{S} = \text{pil K} \mathbf{j} = M \times \mathbf{n} = ks^2 \mathbf{j} \times \mathbf{s} = -kR^2 \mathbf{z}$$

So the bound current flows up the cylinder, and returns down the surface. [Incidentally, the *total* current should be zero ... is it? Yes, for $\int \mathbf{J}_b \cdot d\mathbf{a} = \int_0^R (3ks)(2\pi r ds) = 2\pi k \int_0^R 3rs^2 ds = 2\pi k R^3$ while $\int \mathbf{K}_b \cdot d\mathbf{l} = \int_0^{2\pi} (-kR^2)(2\pi R) d\phi = -4\pi kR^3$. Since these currents have cylindrical symmetry, we can get the field by Ampere's law:

$$\oint \mathbf{B} \cdot d\mathbf{l} = \mu_0 I_{enc} = \mu_0 \int \mathbf{J} \cdot d\mathbf{a} = \mu_0 \int_0^r ks^2 ds = \mu_0 k \frac{r^3}{3} \Rightarrow B = \frac{\mu_0 k r^2}{3}$$

Outside the cylinder $\mathbf{J}_{enc} = 0$, so $\mathbf{B} = 0$.

Problem 6.9

$$= \rho \cdot \mathbf{M}$$

$\mathbf{M} = \frac{1}{2} \mathbf{r} \times \mathbf{J}$

115

$$\mathbf{K}_t = \mathbf{M} \times \mathbf{n} = M \mathbf{z}$$

(Essentially a long solenoid)

(Essentially a physical dipole)
(Intermediate case)

[The external fields are the same as in the electrical case; the *interned* fields (inside the bar) are completely different—in fact, opposite in direction.]

Problem 6.10

If $\mathbf{a} = M \mathbf{t}$ so the field inside a *complete* ring would be ρM . The field of a square loop, at the center, is given by Prob. 5.8: $B_{sq} = \frac{\mu_0 I}{2\pi a} \ln \frac{1+\sqrt{2}}{1-\sqrt{2}}$. Here $I = Mw$, and $R = a/2$, so $B_{sq} = \frac{\mu_0 M w}{2\pi a} \ln \frac{1+\sqrt{2}}{1-\sqrt{2}}$.

$$B = \frac{\mu_0 M w}{2\pi a} \ln \frac{1+\sqrt{2}}{1-\sqrt{2}}$$

CHAPTER 6. MAGNETOSTATIC FIELDS IN MATM

Problem 6.11

As in Sec. 4.2.3, we want the average of $\mathbf{B} = \mathbf{B}_{out} + \mathbf{B}_{in}$, where \mathbf{B}_{out} is due to molecules *outside* a sm sphere around point and \mathbf{B}_{in} is due to molecules *inside* the sphere. The average of \mathbf{B}_{out} is same as field at center (Prob. 5.57b), and for this it is OK use Eq. 6.10, since the center is "far" from all the molecules question:

$$\mathbf{B}_{out} = \frac{\mu_0}{4\pi} \int \frac{\mathbf{J}(\mathbf{r}') \times d\mathbf{r}'}{r^3}$$

$d\mathbf{r}'$
*out

Thus $\mathbf{W}_{jnM} = \frac{M}{r} \cos \theta$ and hence $H_{in} = -\nabla W_{in} = -\frac{M}{2r^2} = -\frac{M}{2a^2} \frac{a^2}{r^2}$, so

$$B = \mu_0(H + M) = \mu_0 \left(\frac{M}{2a^2} + M \right) = \frac{3\mu_0 M}{2a^2}$$

CHAPTER 6. MAGNETOSTATIC FIELDS IN MATTER

118

Problem 6.16

$$\oint \mathbf{H} \cdot d\mathbf{l} = I_{enc}, \text{ so } H = \frac{I_{enc}}{2\pi r} \quad B = \mu_0(1 + \chi_m)H =$$

$$\mathbf{J}_{fc} = \nabla \times \mathbf{L} = \dots, \text{ « } \kappa, \int ds \int 2l(\delta J$$

168

Total enclosed current, for an amperian loop between the cylinders:

$$I_{enc} = I + 2\pi r \chi_m H = 2\pi r \left(\frac{I}{2\pi r} + \chi_m H \right) = I + \chi_m H$$

Problem 6.17

From Eq. 6.20: $\oint \mathbf{H} \cdot d\mathbf{l} = H(2\pi s) = I^* = I \left(\frac{s}{a} \right)$; $I^* = I \left(\frac{s}{a} \right)$ ($s > a$).

Mt' iiii itsi!

$\mathbf{J}_t = \chi_m \mathbf{J}_f$ (Eq. 6.33), and $\mathbf{J}_j = \mathbf{J}_f$ so $\mathbf{K}_{fc} = \mathbf{M} \times \mathbf{n} = \chi_m \mathbf{H} \times \mathbf{n}$

$\mathbf{M} = \chi_m \mathbf{H}$

$\mathbf{M} = \chi_m \mathbf{H} = \frac{\chi_m I}{2\pi r} \hat{\phi}$
$\mathbf{H} = \frac{I}{2\pi r} \hat{\phi}$
$\mathbf{K}_{fc} = \chi_m \mathbf{H} \times \mathbf{n} = \frac{\chi_m I}{2\pi r} \hat{\phi} \times \hat{r} = -\frac{\chi_m I}{2\pi r} \hat{z}$

$\mathbf{J} = \mathbf{J}_f + \mathbf{J}_m$

($s > a$).

$$\mathbf{J} = \frac{I}{2\pi r} \hat{\phi} + \frac{\chi_m I}{2\pi r} \hat{\phi}$$

(same direction as \mathbf{J}),

$$\mathbf{K}_{fc} = -\frac{\chi_m I}{2\pi r} \hat{z}$$

(opposite direction to \mathbf{J}).

$$I_b = \int \mathbf{J} \cdot d\mathbf{l} = \int \left(\frac{I}{2\pi r} + \frac{\chi_m I}{2\pi r} \right) 2\pi r = I(1 + \chi_m) = I_{enc}$$

Problem 6.18

By the method of Prob. 6.15:

For large r , we want $B(r, \theta) = B_0 \cos \theta$, so $H = \frac{B_0}{\mu_0} \cos \theta$, and hence $W = -\int \mathbf{H} \cdot d\mathbf{l} = -\frac{B_0}{\mu_0} \int \cos \theta d\theta = -\frac{B_0}{\mu_0} \sin \theta$

Potentials

$$W_{in}(r, \theta) = \frac{B_0}{\mu_0} \left(\frac{r^2}{4a^2} - \frac{r^2}{4} \right) \cos \theta, \quad (r < R);$$

$$W_{out}(r, \theta) = -\frac{B_0}{\mu_0} \cos \theta + \frac{J_0}{2\pi r} \int \frac{1}{r'} \cos \theta' dr', \quad (r > R). \text{ Boundary Conditions:}$$

$$\mathbf{J} \cdot \mathbf{n} = -\frac{\partial W}{\partial r} \Big|_{r=R} = \frac{B_0}{\mu_0} \sin \theta = \frac{J_0}{2\pi R} \cos \theta \Rightarrow B_0 = \frac{J_0 R}{2\pi}$$

$$\frac{\partial W}{\partial r} \Big|_{r=R} = -\frac{B_0}{\mu_0} \sin \theta = -\frac{J_0}{2\pi} \cos \theta \Rightarrow B_0 = \frac{J_0 R}{2\pi}$$

For $i = 1$, (i) $B_i = \frac{B_0}{\mu_0} \cos \theta + \frac{J_0 R}{2\pi} \frac{1}{r} \cos \theta = 0$, and hence $A = 0$.

For $i = 1$, (ii) $\Rightarrow A_i R = -\frac{B_0 R}{\mu_0} + \frac{J_0 R^2}{2\pi}$, and (ii) $\Rightarrow B_0 + 2\pi i B_i / R^* + n A_x = 0$, so $A_x = -\frac{3B_0}{2\pi} \frac{1}{R}$

$$\mathbf{W} = \frac{B_0}{\mu_0} \left(\frac{r^2}{4a^2} - \frac{r^2}{4} \right) \cos \theta - \frac{B_0}{\mu_0} \cos \theta + \frac{J_0}{2\pi r} \int \frac{1}{r'} \cos \theta' dr'$$

$$B = \mu_0 H =$$

$$\frac{3B_0}{2\pi R}$$

Hln = -Wm =
 ■ z =
 rcosf = -
 (2po + M) (2/IQ + #)'
 i+Xm \ R
 ITwaJ@0-
 (2/UO + M)

By the method of Prob. 4.23:

■ Step 1: B₀ magnetizes the sphere- M f sphere given by Eq. 6.16: $\sim \sim \frac{M_0(1+X_m)}{3} B_0$. This magnetization sets up a field within

BI & 3<*M° - flf^Bo = §«B₀ (where « | | J the sphere- Bl magnetizeS the sphere an additional amount M_x = £B_a. This sets up an additional field in

$$B_2 = l^o M_j * ?«Bi « ^yl B_0, \text{ etc.}$$

The total field is:

$$B = B_0 4- Bi + B_2 + \dots = B_0 + (2K/3)B_0 + (2K/3)^2 B_0 + \dots = [1 + \frac{2K}{3} + (\frac{2K}{3})^2 + \dots] B_0 = \frac{B_0}{(1 - 2K/3)}$$

$$1 - \frac{2k}{Z} Z - 2Xm / (l + Xm) \quad 3 + 3xm \quad 3(1 + Xm) \quad \text{SO}$$

Problem 6.19

$e^*r^* r^* A/r - Am -$
 $Am = -f^A-B; M = ^t^2 = \sim 4^7 v^{B^i}$ where v is the volume per electron. $M = ^*mH$ (Eq. 6.29) = $\frac{BM}{\mu_0}$ (Eq. 6.30). So $X_m = \frac{M}{\mu_0 B}$.
 [Note: $X_m \ll 1$, so I won't worry about the $(1 + X_m)$ term; for the same reason we need not distinguish B from B_{eise} as we did in deriving the Clausius-Mossotti equation in Prob. 4.38.] Let's say $V = \frac{4}{3}\pi r^3$. Then $X_m = \frac{M}{\mu_0 B} = \frac{N \mu_B}{\mu_0 B} = \frac{N \mu_B}{\mu_0 B} = \frac{N \mu_B}{\mu_0 B}$ use $1 A = 10^{-10} m$ for r.

Then $X_m = \frac{N \mu_B}{\mu_0 B} = \frac{N \mu_B}{\mu_0 B} = \frac{N \mu_B}{\mu_0 B}$ which is not ~ 1 . Table 6.1 says $X_m = -1 \times 10$. However, I used only one electron per atom (copper has 29) and a very crude value for r. Since the orbital radius is smaller for the inner electrons, they count for less ($Am \sim r^2$). I have also neglected competing paramagnetic effects. But never mind ... this is in the right ball park.

Problem 6.20

> Place the object in a region of zero magnetic field, and heat it above the Curie point—or simply drop it on a hard surface. If it's delicate (a watch, say), place it between the poles of an electromagnet, and magnetize it back and forth many times; each time you reverse the direction, reduce the field slightly Problem 6.21

V Identical to Prob. 4.7, only starting with Eqs. 6.1 and 6.3 instead of Eqs. 4.4 and 4.5.

V Identical to Prob. 4.8, but starting with Eq. 5.87 instead of 3.104.

V $U = -g^r [3\cos\theta_i \cos\theta_2 - \cos(\theta_2 - \theta_i)] \text{ m.m.s.}$ Or, using $\cos(\theta_2 - \theta_i) = \cos\theta_i \cos\theta_2 + \sin\theta_i \sin\theta_2$,
 $U = -\frac{3}{2} \mu_B (\sin\theta_i \sin\theta_2 - 2\cos\theta_i \cos\theta_2)$.

----- lyj. d&i - g02 - w

w - My (cosi9l sin02 + 2sin^i cos02) =0=> 2sin0i cos0a = - cos0i sin02; fg = $\frac{\Delta f}{\Delta x} (\sin 9 \setminus \cos + 2 \text{ cossin}0_2) = 0 \quad 2 \sin 0a \cos0_2 = -4\cos0i \sin h$

the

----- qovm* v>jr uij. u,xg;

Problem 6.23

inside a uniformly polarized sphere, $\mathbf{E} = -\frac{\rho_0}{3\epsilon_0}\mathbf{r}$ (Eq. 4.14) translates to $\mathbf{H} = -\frac{1}{\mu_0}\nabla\phi = -\frac{1}{\mu_0}\nabla\left(\frac{\rho_0}{3}\mathbf{r}\cdot\mathbf{r}\right) = -\frac{2\rho_0}{3\mu_0}\mathbf{r}$. So the magnetic field inside a uniformly magnetized sphere is $\mathbf{B} = \mu_0(\mathbf{H} + \mathbf{M}) = \frac{2\mu_0}{3}\mathbf{M}$ (same as Eq. 6.16).

(b) The electric field inside a sphere of linear dielectric in an otherwise uniform electric field is $\mathbf{E} = \frac{\mathbf{E}_0}{1 + \chi_m/3}$ (Eq. 4.49). Now translates to \mathbf{H} , for then Eq. 4.30 ($\mathbf{P} = \epsilon_0\chi_e\mathbf{E}$) goes to $\rho_b = -\nabla\cdot\mathbf{P} = -\epsilon_0\chi_e\nabla\cdot\mathbf{E}$, or $\mathbf{M} = \chi_m\mathbf{H}$ (Eq. 6.29). So Eq. 4.49 $\mathbf{H} = \frac{\mathbf{H}_0}{1 + \chi_m/3}$. But $\mathbf{B} = \mu_0(1 + \chi_m)\mathbf{H}$, and $\mathbf{B}_0 = \mu_0\mathbf{H}_0$ (Eqs. 6.31 and 6.32), so the magnetic field inside a sphere of linear magnetic material in an otherwise uniform magnetic field is $\mathbf{B} = \frac{1}{1 + \chi_m/3}\mathbf{B}_0$ (171)

(as in Prob. 6.18).

$\frac{\mu_0(1 + \chi_m)}{1 + \chi_m/3}\mathbf{H}_0$

(c) The average electric field over a sphere, due to charges within, is $\mathbf{E}_{ave} = -\frac{1}{4\pi\epsilon_0}\int\frac{\rho(\mathbf{r}')d\mathbf{r}'}{r^2}$. Let's pretend the charges are all due to the frozen-in polarization of some medium (whatever p might be, we can solve $\nabla\cdot\mathbf{P} = -p$ to find the appropriate \mathbf{P}). In this case there are no free charges, and $p = \nabla\cdot\mathbf{P}$, so $\mathbf{E}_{ave} = -\frac{1}{4\pi\epsilon_0}\int\frac{\nabla\cdot\mathbf{P}d\mathbf{r}'}{r^2}$, which translates to

$$\int\frac{\rho_b d\mathbf{r}'}{4\pi R^3}$$

$$\frac{1}{4\pi R^3}\int\frac{\rho_b d\mathbf{r}'}{r^2}$$

$\mathbf{B} =$

$\mathbf{H} =$

Have

But $\mathbf{B} = \mu_0(\mathbf{H} + \mathbf{M})$, so $\mathbf{B}_{ave} = \mu_0\left(\frac{1}{1 + \chi_m/3}\mathbf{H}_0 + \chi_m\frac{1}{1 + \chi_m/3}\mathbf{H}_0\right)$, and $\mathbf{M}_{ave} = \chi_m\mathbf{H}_{ave}$ so

with Eq. 5.89. (We must assume for this argument that all the currents are bound but again it doesn't really matter, since we can model any current configuration by an appropriate frozen-in magnetization. See G. H. Goedecke, *Am. J. Phys.* 66, 1010 (1998).)

Problem 6.24

Eq. 2.15: $\mathbf{E} = -\nabla\phi$

Eq. 4.9: $\mathbf{V}\phi = \frac{1}{4\pi\epsilon_0}\int\frac{\rho(\mathbf{r}')d\mathbf{r}'}{r}$

Eq. 6.11: $\mathbf{A} = \frac{\mu_0}{4\pi}\int\frac{\mathbf{J}(\mathbf{r}')d\mathbf{r}'}{r}$

$\mathbf{f} =$

For a uniformly charged sphere (radius R):

$\mathbf{E}_{out} =$

in agreement

So the scalar potential of a uniformly polarized sphere is:

$\phi = \frac{\rho_0}{3\epsilon_0}\left(\frac{3}{2}R - \frac{1}{2}r\right)$

and the vector potential of a uniformly magnetized sphere is:

(confirming the results of Ex. 4.2 and of Exs. 6.1 and 5.11). Problem 6.25

(a) $\mathbf{B} = \frac{\mu_0}{4\pi}\int\frac{\mathbf{J}(\mathbf{r}')d\mathbf{r}'}{r}$ (Eq. 5.86, with $\theta = 0$). So $\mathbf{m}\cdot\mathbf{B} = -\mathbf{g}\cdot\mathbf{F} = V(\mathbf{m}\cdot\mathbf{B})$ (Eq. 6.3) $\Rightarrow \mathbf{F} = \mathbf{g}[-$

This is the magnetic force upward (on the upper magnet); it balances the gravitational force downward $[-mg\mathbf{j}]$: $-m\mathbf{g} = \mathbf{F}$

	Z_{p0m^2}
X	$2it$
38	$m < t9.$

$\rho_0 \mathbf{2m}$
 $\mathbf{B}_{\text{ave}} =$
 $4\pi R^3$

(for uniform charge density); (for uniform polarization); (for uniform magnetization).⁵³ (Prob. 2.12),
 $= K_s M^*$ (Ex. 2.2).

$V_{\text{out}} \ll$

172

A

Mo $\underline{m}^* 1 a$
 $\frac{3}{ip} m^a 2\pi z^*$

CHAPTER 6. MAGNETOSTATIC FIELDS IN MATTER

(b) The middle magnet is repelled upward by lower magnet and downward by upper magnet:

$$Z_{p0m^2} Z_{p0m^2}$$

The top magnet is repelled upward by middle magnet, and attracted downward by lower magnet:

$$3 \text{ Atom}^2 \text{ } 3/xom^2$$

Subtracting: $[J, -J, -J, +$

$$-mag + mag \text{ } m \text{ } 0, \text{ or}$$

$$\ll 0, \text{ so: } 2 = \wedge \wedge g$$

Let $q = x/y$, then $2 = \wedge r + i_{u+} + 4$ - Mathematica gives the numerical solution $a = x/y = 0.850115...$

Problem 6.26

At the interface, the perpendicular component of \mathbf{B} is continuous (Eq. 6.26), and the parallel component of \mathbf{H} is continuous (Eq. 6.25 with $\mathbf{K} = 0$). So $B_{\perp} = B_{\perp}$, $H_{\parallel} = H_{\parallel}$. But $\mathbf{B} = \mu_0 \mathbf{H}$ (Eq. 6.31), so $B_{\perp} = \mu_0 H_{\perp}$. Now $\tan \theta_1 = B_{\perp} / B_{\parallel}$ and $\tan \theta_2 = B_{\perp} / B_{\parallel}$, so

$$\tan \theta_1 = \mu_0 \tan \theta_2$$

$$\tan \theta_1 = \mu_0 \tan \theta_2$$

(the same form, though for different reasons, as Eq. 4.68).

Problem 6.27

In view of Eq. 6.33, there is a bound dipole at the center: $m_b =$ So the net dipole moment at the center is $m_{\text{net}} = m + m_b = (1 + X_m)m = j^* m$. This produces a field given by Eq. 5.87:

$$B_{\text{center}} \sim \frac{\mu_0}{4\pi r^3} [3(\mathbf{m} \cdot \hat{\mathbf{r}})\hat{\mathbf{r}} - \mathbf{m}] \text{ dipole } 4\pi r^3 \text{ } ^{-1}$$

This accounts for the first term in the field. The remainder must be due to the bound surface current (\mathbf{K}^*) at $r = R$ (since there can be no volume bound current, according to Eq. 6.33). Let us make an educated guess (based either on the answer provided or on the analogous electrical Prob. 4.34) that the field due to the surface I bound current is (for interior points) of the form $B_{\text{surface}} = -4\pi \mathbf{K}^* \times \hat{\mathbf{r}}$ (i.e. a constant, proportional to \mathbf{K}^*). In that case

the magnetization will be:

$$\mathbf{M} = \chi_m \mathbf{H} = -\mathbf{B} = [3(\mathbf{m} \cdot \hat{\mathbf{r}})\hat{\mathbf{r}} - \mathbf{m}] + \mu_0 \mathbf{K}^* \times \hat{\mathbf{r}}$$

This will produce bound currents $\mathbf{J}_b = \nabla \times \mathbf{M} = 0$, as it should, for $0 < r < R$ (no need to calculate $\nabla \times \mathbf{M}$ —the second term is constant, and the first is essentially the field of a dipole, which we know it $\nabla \times \mathbf{M} = \mathbf{j}$ except at $r = 0$), and

$$\mathbf{K}_b = \mathbf{M}(R) \times \hat{\mathbf{r}} = \mu_0 \mathbf{K}^* \times \hat{\mathbf{r}}$$

But this is exactly the surface current produced by a spinning sphere: $\mathbf{K} = \omega \mathbf{r} \times \hat{\mathbf{z}}$ with $\omega = \frac{v}{R}$. So the field it produces (for points inside) is (Eq. 5.68):

$$\mathbf{B}_{\text{surface}} \approx \frac{\mu_0 \omega R}{2} \hat{\mathbf{z}} \quad \text{for } r < R$$

122
tan

Everything is consistent, therefore, provided $A = \frac{4\pi R^2 \mu_0 \omega R}{2} = 2\pi R^3 \omega \mu_0$ or $A = \frac{4\pi R^3 \omega \mu_0}{2}$.
 $\chi_s = -1$, so $A(1 - \chi_s) = 2\pi R^3 \omega \mu_0 (1 + 1) = 4\pi R^3 \omega \mu_0$ and hence $A = 2\pi R^3 \omega \mu_0$ and hence $\chi_s = -1$. 173

$$\mathbf{I} + \mathbf{I}^*$$

The *exterior* field is that of the central dipole plus that of the surface current, which, according to Prob. 5.36, is *also* a perfect dipole field, of dipole moment

$$\mathbf{m}_{\text{surface}} = \frac{1}{2} \int \mathbf{r}' \times \mathbf{J}(\mathbf{r}') d\tau' = \frac{1}{2} \int \mathbf{r}' \times (\omega \mathbf{r}' \times \hat{\mathbf{z}}) d\tau' = \frac{1}{2} \int \omega r'^2 \hat{\mathbf{z}} d\tau' = \frac{1}{2} \omega \int r'^2 d\tau' = \frac{1}{2} \omega \frac{4\pi R^3}{3} = \frac{2\pi R^3 \omega}{3}$$

So the *total* dipole moment is:

$$\mathbf{m}_{\text{total}} = \mathbf{m}_{\text{central}} + \mathbf{m}_{\text{surface}} = \frac{4\pi R^3 \omega \mu_0}{3} \hat{\mathbf{z}} + \frac{2\pi R^3 \omega}{3} \hat{\mathbf{z}} = \frac{2\pi R^3 \omega}{3} (2\mu_0 + 1) \hat{\mathbf{z}}$$

and hence the field (for $r > R$) is

$$\mathbf{B} \approx \frac{\mu_0}{4\pi r^3} \mathbf{m}_{\text{total}} \times 3$$

Problem 6.28

The problem is that the field inside a *cavity* is not the same as the field in the material itself.

(a) *Ampere type.* The field deep inside the magnet is that of a long solenoid, $B_0 = \mu_0 n I$. From Prob. 6.13: (Sphere: $B = B_0 - \frac{1}{2} \mu_0 n I$); (Needle: $B = B_0 - \mu_0 n I$); (Wafer: $B = \frac{1}{2} \mu_0 n I$).

(b) *Gilbert type.* This is analogous to the electric case. The field at the center is approximately that midway between two distant point charges, $B_0 \ll 0$. From Prob. 4.16 (with $E \rightarrow B$, $1/\epsilon_0 \rightarrow \mu_0$, PM):

(Sphere: $B = B_0 + \frac{1}{2} \mu_0 n I$)

(Needle: $B = B_0 = 0$);

(Wafer: $B = B_0 + \mu_0 n I = \mu_0 n I$).

With the cavities, then, the fields are the *same* for the two models, and this will be no test at all. Yes. Fund it *with* \mathbf{M} from the Office of Alternative Medicine.